

## **جيومورفولوجية بحر رمال الفرافرة**

**د. معرض بدوى معرض\***

### **الملخص :**

تهدف الدراسة الحالية إلى دراسة الأشكال الرملية الرئيسية في بحر رمال الفرافرة. وقدمت الدراسة تحليلاً لخصائص الأشكال الرملية في بحر رمال الفرافرة لمعرفة سماتها الجيومورفولوجية العامة، وإلقاء الضوء على العوامل التي ساعدت على تكوينها، فضلاً عن إستنتاج المصادر الرئيسية للرمال. وقد صفت الدراسة الكثبان الرملية في بحر رمال الفرافرة وفقاً للظروف البيئية السائدة إلى كثبان نشطة حديثة، وأخرى ثابتة متماسكة الحبيبات. أما من حيث التصنيف المورفولوجي والتوزيع الجغرافي فتسود الكثبان الهلالية البسيطة على هامش بحر الرمال بوجه عام، بينما يتميز بحر رمال الفرافرة بسيطرة الكثبان المركبة والمعقدة والتي تعكس ترتيب مكانى مميز يتمثل في مجموعة من النطاقات الطولية أو الأذرع. ومن خلال الدراسة تبين أن النزاع القديمة في بحر رمال الفرافرة قد تكونت بفعل الرياح الشديدة أبان الفترات الجليدية منذ ٢٨-٣٥ ألف سنة مضت، ثم تعاقدت عليها دورات من الرطوبة والجفاف منذ نهاية الباليستوسين وحتى وسط الهولوسين. أخيراً قدمت الدراسة مناقشة لأهم العوامل التي ساهمت في نشأة بحر رمال الفرافرة، وكذلك المصدر الرئيسي للرمال ممثلاً في رواسب مجاري الأودية المحلية القديمة التي تتحرر من حواف المنخفض كما اظهر تحليل الصور الفضائية والدراسات الميدانية. علاوة ذلك يتلقى بحر رمال الفرافرة قدرًا من الرمال التي تصل إلى منخفض الفرافرة من مصادر أخرى تقع خارج حدوده، خاصة من جهة الشمال والشمال الشرقي.

**الكلمات الإفتتاحية :** منخفض الفرافرة، الصحراء الغربية لمصر، بحر رمال الفرافرة، النزاع الباليستوسيني.

### **المقدمة :**

تعد الأشكال الرملية - بصفة عامة - أهم الأشكال الناتجة عن فعل الرياح، إذ يتطلب تكوينها وجود مصدر وفير للرمال مع نظام من الرياح به نسبة من الهبوب يمكن أن تقوم بتذرية الرمال، وندرة الغطاء النباتي، وجفاف السطح. وتعد ظروف الجفاف الحالية التي طرأة على مناخ بعض من أقاليم سطح الأرض منذ نهاية ذروة آخر فترة جليدية (~ ٢٠ - ١٨ ألف سنة) مضت ظروفًا مثالية لإنشار الكثبان في الأقاليم الجافة على وجه الخصوص، فضلاً عن إنتشارها في بعض المناطق والبيئات الساحلية.

---

\* استاذ الجغرافيا الطبيعية المساعد، قسم الجغرافيا، كلية الآداب - جامعة عين شمس.

وتهدف الدراسة الحالية إلى دراسة الأشكال الرملية الرئيسية في بحر رمال الفرافرة لمعرفة سماتها الجيولوجية العامة، وإلقاء الضوء على العوامل التي ساعدت على تكوين بحر رمال الفرافرة، ودراسة مصادر الإمداد بالرمال.

### **أولاً - موقع وحدود بحر رمال الفرافرة :**

يقع منخفض الفرافرة في الجزء الأوسط من الصحراء الغربية بين دائرة عرض  $25^{\circ} 04' 44''$  و  $25^{\circ} 27'$  شمالاً وبين خطى طول  $20^{\circ} 58'$  و  $27^{\circ} 29'$  شرقاً (شكل ١). ويمتد المنخفض من الشرق للغرب لمسافة تتراوح بين ٩٥ كم عند دائرة عرض  $27^{\circ}$ ، و ١٢٥ كم عند دائرة عرض  $26^{\circ}$ ، كما يمتد من الشمال للجنوب لمسافة قدرها ٢٨٧ كم. ويغطي المنخفض مساحة قدرها  $18,343$  كم<sup>٢</sup> تقريباً (لم يؤخذ في الحسبان مساحة منخفض عين دالة)، وبعد بذلك منخفض الفرافرة ثاني أكبر منخفضات الصحراء الغربية في مصر بعد منخفض القطارة البالغ مساحته حوالي ٤٥ ألف كم<sup>٢</sup> تقريباً .(Embabi, 2004)

وتغطى الأشكال الرملية المختلفة مساحة قدرها  $11,282$  كم<sup>٢</sup> من قاع المنخفض والمعروفة ببحر رمال الفرافرة. ويضم البحر داخله مجموعة متنوعة من الأشكال الرملية مثل النبات والفرشات الرملية والكتبان الرملية الهلالية والطويلة والمعقدة، علاوة على بقايا الكثبان القديمة. وتنتظم الكثبان الرملية داخل بحر رمال الفرافرة في عدة نطاقات رئيسية تتجه بصفة عامة من الشمال الغربي إلى الجنوب الشرقي بمتوسط انحراف قدره  $33^{\circ} 5$  عن الشمال. ويوضح تحليل الخرائط الطبوغرافية مقاييس ١ : ١٠٠,٠٠٠ أن بحر رمال الفرافرة يمتد جنوباً داخل منخفض الداخلة، حيث تهبط الكثبان الرملية عبر الحافة الشمالية لمنخفض الداخلة عند مواضع بعيتها، هي على الترتيب من الشرق إلى الغرب: وادي البطيخ وتنيدة والراشدة والقصر وإلى الشرق قليلاً من غرب الموهوب. بذلك يمكن تقسيم هذا البحر الرملي إلى قسمين: يقع القسم الشمالي في منخفض الفرافرة، ويقع القسم الجنوبي في منخفض الداخلة (Embabi, 1998)، غير أن الدراسة الحالية ستقتصر فقط على الجزء الواقع داخل منخفض الفرافرة.

### **ثانياً - السمات الطبيعية لمنطقة الدراسة :**

يوضح تحليل الخريطة الجيولوجية مقاييس (CONCO Coral 1987) أن منخفض الفرافرة قد نشاً في الصخور الطباشيرية (تكوين خومان) والتي ترجع إلى الكريتاسي الأعلى، وتشكل حواجز المنخفض من الصخور الطباشيرية والجيرية الطباشيرية يتخللها طبقات من المارل (تكوين طروان)، ثم يعلوها طبقات من الطفل والحجر الجيري (تكوين إسنا) والذي يرجع إلى

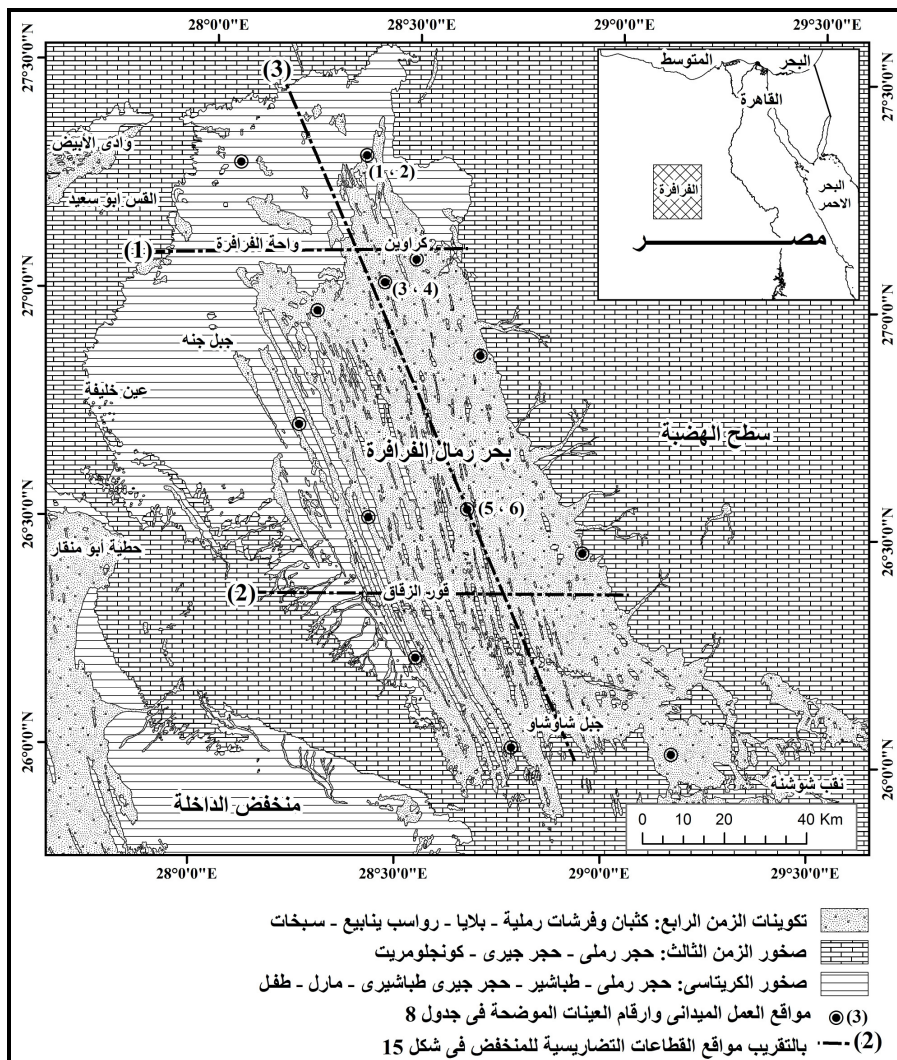
الباليوسين. أما قاع المنخفض فيتكون من مفتات ورواسب الطباشير والحجر الجيرى الذى تتكون منه الصحراء البيضاء، فضلا عن السهول الحصوية والكتان والسهول الرملية مثل سهل كراوين وسهل البركة، ويقايا السهول الطينية ورواسب الطوفا الجيرية، وكذلك عروق الجبس والكالسيت التى تظهر موضعيا فوق قاع المنخفض. كما يظهر الأساس الصخري فى بعض مواضع بين نطاقات الكثبان الرملية.

ويتمثل منخفض الفرافرة نوعا من الطبوغرافية المعكوسة، حيث يشغل موضع محدب المقفى، وهو أحد المحدبات التى تأثرت بها منطقة الدراسة نتيجة لحركة الرفع الارامية التى حدثت خلال الكريتاسى الأعلى واستمرت حتى بداية الزمن الثالث، ونتج عنها بروز سلسلة من الطيات المعروفة بنظام الأقواس السورية (Said, 1962). ويحد المنخفض مجموعة من الصدوع الرئيسية من الشمال على طول إمتداد وادى الأبيض وتتراوح إتجاهاتها بين  $45^{\circ}$  -  $67,5^{\circ}$ . كما تمتد الحافة الغربية للمنخفض على طول صدع رئيسى يمتد من رأس المثلث من أقصى الجنوبي الشرقي عند أبو جرارة على طول  $56^{\circ} 029^{\circ} E$  و  $57^{\circ} 025^{\circ} N$  لينحرف ناحية الشمال الغربى مارا بقرور الزقاق ( $30^{\circ} 028^{\circ} E$  و  $17^{\circ} 026^{\circ} N$ ) الواقعة على درب الجمال الوacial بين الواحات الفرافرة والداخلة، لينحرف بعدها خط الصدع الرئيسى شمالا ليمثل الحافة الشرقية لقلعة العزة.

ويوضح تحليل الخرائط الطبوغرافية مقاييس  $1:100,000$  (الهيئة المصرية العامة للمساحة ١٩٨٧-١٩٨٩) أن منخفض الفرافرة يحده ثلات حافات واضحة المعالم تجعله يبدو كمنخفض مغلق على شكل مثلث مقلوب قاعدته إلى الشمال ورأسه في الجنوب. وتشير زاويته الشرقية إلى منخفض البحري، بينما تشير زاويته الغربية إلى ما يسمى بالواحات الخربة (سترة والبحرين والعرج)، أما رأس المثلث الجنوبي فتشير إلى منخفض الخارج. ويتبين من فحص الخرائط الطبوغرافية مقاييس  $1:25000$  (الهيئة العامة لاستصلاح الأراضي، إدارة المساحة، ١٩٨٦) أن أخفض نقطة في المنخفض تقع على منسوب  $21$  مترا فوق منسوب سطح البحر شرقا من بئر بدنى على مسافة  $6$  كم من الطريق المؤدى إلى الواحات البحري ( $E ٦١٠ ٦٢٨ ٠٢٨^{\circ} N ٦٢١ ٠٦٠^{\circ}$ ). أما في الجنوب فترتفع قاع المنخفض لأكثمن  $40$  مترا فوق منسوب سطح البحر، كما ترتفع بعض القمم نحو  $56$  مترا فوق منسوب سطح البحر. بذلك يمكن تقدير عمق المنخفض بنحو  $429$  مترا مع إنحدار قاعه من الجنوب إلى الشمال، بمعدل إنحدار عام يصل إلى  $1 / 2,1$  كم.

أما عن الظروف المناخية فيتراوح المتوسط الشهري لدرجات الحرارة في محطة الفرافرة بين  $37^{\circ} - ٤٠^{\circ}$ ، ويقاد يكون المطر منعدما طوال العام، إذ لا يزيد المتوسط السنوى للأمطار عن  $2,8$  مم في محطة الفرافرة تسقط معظمها في شهر فبراير. لذلك تتنفس المنطقة بسيطرة ظروف الجفاف الشديد، ويتبين ذلك من خلال العلاقة بين متوسط التساقط الشهري P في الفترة من ١٩٥١-١٩٨٠ والتبحر

نتح PET المحسوب من المتوسطات الشهرية لدرجات الحرارة طوال ساعات النهار لنفس الفترة وفقاً لمعامل الجفاف (UNEP, 1997).



شكل (١) : موقع وجيوโลجية منطقة الدراسة.

المصدر: الخريطة الجيولوجية لوجه الفرافرة مقياس ١:٥٠٠,٠٠٠، ١٩٨٧.

أما عن نظم الرياح يوضح جدول (١) النسب المئوية لهبوب الرياح المؤثرة في حركة الرمال في منخفض الفرافرة بداية من السرعة الحدية ١١ عقدة للرمال ذات الحجم ١,٢٥-٠,٢٥ (Fryberger, 1979). ونستنتج من هذا الجدول سيادة فئة السرعة التي تتراوح بين ١٦-١١ عقدة، مع سيادة الشماليات بصفة عامة بنسبة ٨٥,٥%. بينما في المقابل تختفي بشدة نسب هبوب الرياح الغربية والشرقية بنسبة ٤,٤٥ و ٠,٦٦ على الترتيب.

**جدول (١) :** نسب هبوب الرياح المؤثرة في حركة الرمال في منخفض الفرافرة وفقا لفئات السرعة المختلفة.

% مج	فئات السرعة بالعقدة			الدرجات	الإتجاه
	٢٧-٢٢	٢١-١٧	١٦-١١		
٢٠,٣٥	٣٨,٥٠	٠,٤٢	٢,١٧	٣٥,٩٢	ش
٢٠,٢٦	٣٨,٣٣	٠,٥٠	٣,١٧	٣٤,٦٧	ش ش ق
٧,٢٦	١٣,٧٥	٠,٢٥	١,٢٥	١٢,٢٥	ش ق
٠,٦٦	١,٢٥	--	٠,٠٨	١٠٤-٧٥	ق
٠,٤٣	٠,٨٣	--	--	١٣٤-١٠٥	ج ق
٠,٨٣	١,٥٨	--	٠,٠٨	١٦٤-١٣٥	ج ج ق
٠,٥٧	١,٠٨	--	٠,١٧	١٩٤-١٦٥	ج
١,٨٠	٣,٤٢	٠,١٧	٠,٨٣	٢٢٤-١٩٥	ج ج غ
٢,٦٤	٥,٠٠	٠,٢٥	١,٠٨	٢٥٤-٢٢٥	ج غ
٤,٤٥	٨,٤٢	٠,٧٥	١,٦٧	٦,٠٠	غ
٩,٣٣	١٧,٦٧	٠,٥٠	٢,٧٥	١٤,٤٢	ش غ
٣١,٣٦	٥٩,٣٣	٠,٥٠	٤,٣٣	٣٤٤-٣١٥	ش ش غ
١٠٠	١٨٩,١٩	٣,٣٤	١٧,٥٨	١٦٨,٢٧	جميع الاتجاهات

المصدر: المعدلات المناخية لمحطة الفرافرة للفترة ١٩٧٥-١٩٩٩.

### ثالثاً - طريقة الدراسة :

#### ١) الدراسة الميدانية :

أجرى الباحث دراسة ميدانية لبحر رمال الفرافرة في أول مارس عام ٢٠١٠ بالإشتراك مع ورشة عمل الكثبان الرملية التينظمها قسم الجغرافيا بكلية الآداب جامعة عين شمس ضمن مشروع دراسة

الكتبان الرملية فى مصر. وقد تم خلال تلك الدراسة التعرف على أنواع وأشكال الكثبان السائدة داخل بحر رمال الفرافرة، وقياس الأبعاد المورفومترية لعدد من الكثبان الهلالية والطولية والنباك والكتبان القديمة، فضلا عن قياس إنحرافات بعض قمم الكثبان الطولية. كما قام الباحث بدراسة ميدانية ثانية للمنطقة فى منتصف مارس ٢٠١٣، وقد تمكن خلالها من إستكمال قياس الأبعاد المورفومترية لعدد ٢٠ كثيب هلاى (جدول ٤)، و ١٩ كثيب طولى (جدول ٤)، و ١٠ أخرى من كثبان العقبات الطبوغرافية (جدول ٥)، وتم قياس عدد من القطاعات التنصاريسيّة وحساب الإرتفاع والأحجام لعدد من الكثبان الرملية الهلالية، وجمع عينات الرمال. وقد تمت عمليات القياس الحقلى المباشر على النحو التالي:

- **الكتبان الهلالية :** اعتمدت عملية القياس الحقلى لأبعاد الكثبان الهلالية (الطول، العرض، الإرتفاع) فى هذه الدراسة على الطريقة التى قدمها (Finkel 1957). ووفقا لهذه الطريقة فإنه يمكن حساب ارتفاع الكثيب من خلال العلاقة التالية:

$$h = \frac{L_0 \times L_s}{AB}$$

حيث أن  $L_0$  و  $L_s$  يشيران إلى طول الصباب والكساح على التوالى، و  $AB$  هي المسافة الأفقية بداية من الكساح وحتى أقدام الصباب. ولحساب حجم الكثيب فقد سجلت إحداثيات عينة قدرها ٢٠ كثيب بواسطة متوسط قراءات أجهزة GPS، ووُقعت كلها داخل برنامج ArcGIS بدلالة الإحداثيات الكيلومترية، ومن ثم حساب مساحة كل كثيب منها من الصور الفضائية. بناء على ذلك تم تقدير حجم الكثيب كمجمّع على هيئة نصف هرم وفقاً للمعادلة التالية : (Hersen et al., 2004)

$$V_d = 0.16666 (A \times h)$$

حيث أن ٠,١٦٦٦٦ ثابت،  $A$  و  $h$  هما المساحة والإرتفاع على التوالى.

- **الكتبان الطولية والمركبة والمعقدة :** تم إنشاء بعض القطاعات العرضية على عدد من الكثبان الطولية ميدانياً، علاوة على حساب أطوالها ومتوسط أعداد القمم ومتوسط التباعد بينها من خلال الصور الفضائية.

## (٢) الصور الفضائية والخرائط :

- **صور لاندسات :** استخدمت صور القمر الصناعي لاندسات-٧ بعد زيادة دقة الوضوح الأرضى إلى ١٥ متراً كأساس للدراسة الحقلية، وتقييم إحداثيات الكثبان المدروسة بواسطة جهاز GPS، فضلاً عن قياس أبعاد نطاقات الكثبان الرئيسية في بحر رمال الفرافرة.

- **صور Google Earth :** يوفر برنامج Google Earth Pro صوراً مختلفة الدقة ، أعتمد الباحث على الصور ذات الدقة العالية منها من نوع كويك بيرد والتي تصل دقتها المكانية ٦١ سم للخلية. وقد تم تجميعها بواسطة برنامج stitch map وتصديرها مع الإحتفاظ بخصائصها الهندسية بحيث يسهل تكاملها مع بيانات الاستشعار الأخرى. وقد استخدمت هذه الصور في دراسة أنماط وأشكال الكثبان في حقل رمال الفرافرة خاصة الكثبان المركبة والمعدقة.
- **صور ENVISAT :** استخدم موزاييك الصور الرادارية Envisat من نوع أسار المتقدم ASAR، بدقة وضوح أرضي ٣٠ متر، وذلك باستعمال نظامين للاستقطاب هما الأفقي - الأفقي HH والرأسي VV، وذلك بعرض إظهار السمات المورفولوجية العامة لنطاقات الكثبان البلاستوسينية المتماسكة، حيث أن نظام أسار قدرة على إخراق الطبقة السطحية من الرمال الحديثة نظراً لما تتميز به من تفكك حبيباتها وإنعدام الرطوبة الأرضية. وقد تم الحصول عليها منحة مقدمة من وكالة الفضاء الأوروبية ESA لاستكمال العمل في الدراسة الحالية.
- **نماذج الإرتفاعات :** تعتمد الدراسة الحالية في حساب إرتفاعات الكثبان بشكل رئيسي على القياس المباشر من الدراسة الميدانية، كما استخدمت نماذج الإرتفاعات الرقمية من نوع SRTM الإصدار الثالث بدقة مكانية ٣٠ متر بعرض إظهار الخصائص الطبوغرافية العامة لمنطقة الدراسة.
- **الخرائط الطبوغرافية والجيولوجية :** استخدمت الدراسة الخريطة الطبوغرافية مقاييس ١:١٠٠,٠٠٠ و ١:٢٥,٠٠٠ في دراسة مورفولوجية المنخفض ونطاقات الكثبان الرئيسية. كما اعتمدت الدراسة على الخريطة الجيولوجية مقاييس ١:٥٠٠,٠٠٠ من إصدار كونكو كورال (١٩٨٧) في دراسة التكوينات الجيولوجية السطحية وخطوط البنية الرئيسية.

#### رابعاً - الأشكال الرملية النشطة :

يقسم (McKee, 1979) الكثبان الرملية حسب الشكل وعدد الصبابات slipfaces ومواضعها. وهو بذلك يميز بين عدة أشكال رئيسية من الكثبان الرملية البسيطة مثل الهلالية والطولية والنجمية والعكسية. كما يميز بعد ذلك في تصنيفه بين الكثبان المركبة compound dunes التي تتكون من تداخل overlapping أو تراكب superimposed أكثر من كثيب من نفس النوع، والكثبان المعقدة complex dunes والتي تتكون من التحام coalescing نوعان مختلفان من الكثبان، مثل التداخل بين الكثبان الهلالية والكثبان الطولية. وبين بين من واقع الدراسة الميدانية وتقسيم الصور الفضائية أن بحر رمال الفرافرة يتميز بوجود نظام هرمي (هيباركى) لتوزيع الأشكال الرملية بداخله. وتبدأ تلك الهياكل بانتشار تموجات الرمال على كل الأشكال الرملية مع

اختلاف أبعادها وأحجامها. ثم الأشكال الرملية البسيطة ممثلة في الغطاءات الرملية والنباك والبرخانات والكتبان الطولية، يليها الكثبان الرملية المركبة والمعقدة. وفيما يلى عرض لأهم سمات وخصائص كل شكل منها في بحر رمال الفرافرة:

### (١) الغطاءات الرملية :

تشغل السهول الرملية مساحات محدودة للغاية من بحر رمال الفرافرة، لا تزيد عن بضعة مئات من الأمتار المربعة، يغطيها طبقات أفقية متتابعة من الرمال المفككة، ويغلب على سطحها العلوى الرمال الخشنة مما يقلل من قدرة الرياح على تذريرتها. وتتوارد بصفة عامة الغطاءات الرملية عند الهوامش الشمالية لبحر الرمال، حيث تطغى على سهول البلايا القديمة، كما تنتشر حول تلال الينابيع وعلى جوانب الكدوت الصخرية. أما في الجزء الجنوبي من بحر الرمال فتشغل الغطاءات الرملية الممرات الفاصلة بين نطاقات الكثبان الرئيسية. ويتراوح سمكها بين ٥ - ٦٥ سم في شمال بحر الرمال إلى الشرق من بئر كراوبين (E ٤١° ٢٧° N ٤١° ٢٨°)، حيث يغلب عليها الرمال متوسطة الحجم (٠٥-٠٠٥، مم) والخشنة (١-٠٠٥، مم). أما في الجنوب فيتراوح متوسط سمكها ١٥٠ سم في الممرات الفاصلة بين الكثبان المركبة والمعقدة (E ٤١° ٢٦° N ٣١° ٢٦°)، حيث يغلب على سطحها سيادة الرمال الخشنة (١-٠٠٥، مم) والخشنة جداً (٢-١، مم) مع إنتشار الحصى الأسود (٤-٢، مم) المستطيل متوسط الإستدارة (معامل الاستدارة ٥٠،)، مما يجعلها ربيبة التصنيف بوجه عام في منخفض الفرافرة. وتعد التموجات الرملية من أهم الظواهر الدقيقة التي تميز الغطاءات الرملية، وتختلف أبعادها وأحجامها من مكان لأخر بإختلاف أحجام الرمال وشدة الرياح وتوجيه محاور الكثبان الرملية وعلاقتها بمستويات القص بفعل الرياح.

### (٢) النبات :

تشير النبات إلى التجمعات الرملية حول الأعشاب الصحراوية التي تنمو عقب سقوط الأمطار الفصلية، أو تلك التي تستند المياه من الطبقات تحت السطحية. ويبعد هذا التجمع على شكل رأس مدبب في الجانب المواجه للرياح تتصل عند قمة النبتة بذيل يشير إلى منصرف الرياح. وبعد هذا النوع هو السائد في منخفض الفرافرة حيث يكون نتيجة لنمو الأعشاب الموسمية، فضلاً عن ظهور مساحات محدودة من النبات القباییة أو البيضاویة الشکل والتي ترتبط عادة بنمو بعض الشجيرات. ولهذا النوع من الشجيرات القرفة على إصطدام المزيد من الرمال بفعل قدرتها على إعاقة حركة الرياح، مما يجعل النبتة تنمو رأسياً أكثر منها أفقياً، لاسيما مع توافر مصدر للرطوبة تحت سطحية.

والنباك بصفة عامة قليلة الظهور في بحر رمال الفرافرة، إذ تظهر في عدة مناطق متفرقة بمساحات محدودة للغاية، خاصة في الجزء الشمالي من المنخفض حيث تسود الأراضي السهلية، ويقترب مستوى الماء الجوفي نسبياً من سطح الأرض، ومن ثم نجد النبات جنباً إلى جنب مع بعض تلال الينابيع القديمة، أو العيون التي لا زالت تجري مثل عيون الوادي والخضرة وخليفة والمدقى والشيخ مرزوق. وتوضح دراسة مجموعة مكونة من ٢٠ نبتة أن أطوال النبات في بحر رمال الفرافرة تتراوح بين ١,٥ - ٠,٩ م بمتوسط عام قدره ١,٢ م، كما يتراوح عرضها بين ٠,٣ - ٢,٤ م بمتوسط عام ١,٣٥ م. أما متوسط إرتفاعها فيتراوح بين ٠,٥ - ٢,٥ م بمتوسط عام ١,٥ م، على أن النبات الذي يقل إرتفاعها عن ١ م هي السائدة، حيث يؤدي نقص الرطوبة إلى تحديد إرتفاع النبات ومجموعه الخضرى وقصر دورة حياته، ولذلك نجد أن السواد الأعظم تمثله النبات مفردة القمة، وقلاً نجد النبات مزروجة القمة.

### (٣) الكثبان الهلالية :

تتركز الكثبان الهلالية البسيطة في بحر رمال الفرافرة على هوماش الشرقية والغربية والجنوبية. وتمثل الهوماش الشرقية والغربية في الأساس نطاقات وسطى لنقل للرمال حيث تربط بين منطقة المصدر (الأودية المنحدرة من حواف المنخفض) ومركز حوض الترسيب، ومن ثم تقل فيها كميات الرمال المتتدفقة إليها مقارنة بطاقة الرياح (Lancaster, 1995)، بما يسمح بتكون بدخانات منفردة بسيطة وصغيرة الحجم نسبياً. أما الهوماش الجنوبية للمنخفض فتمثل نهايات أطراف بحر رمال الفرافرة والتي تبدأ إلى الجنوب قليلاً من دائرة عرض جبل شاوشاو ٠٣٠° شمala. حيث تصبح طاقة الرياح ضعيفة نسبياً غير قادرة على نقل كميات كبيرة من الرمال بسبب الإرتفاع التدريجي لقاع المنخفض، حيث يرتفع قاع المنخفض جنوباً نحو ٥٠٤ مترًا فوق منسوب سطح البحر، علاوة على ارتفاع بعض القمم نحو ٥٣٠ مترًا فوق منسوب سطح البحر.

وتتميز الكثبان الهلالية في منطقة الدراسة بوجودها في المناطق السهلية، التي يقل إنحدار سطحها عن ٠٧°. ويمكن أن نوجز السمات المورفومترية العامة للكثبان الهلالية في بحر رمال الفرافرة من خلال دراسة مجموعة مكونة من ٢٠ كثيباً وذلك على النحو التالي (جدول ٢):

- يتراوح إنحدار الجانب المواجه للرياح (الكساح) بين ٢ - ٠٣° عند قاعدته، ثم يزداد الإنحدار نسبياً عند المنتصف ليتراوح بين ١٠ - ١٢° في المتوسط، ثم ينخفض مرة أخرى قرب قمة الكثيب ليتراوح بين ٢ - ٠٣°، ويغلب على الكساح عموماً الشكل المقرئ - المحدب، وهو في هذا يتشابه مع كثبان الخارجية (Embabi, 1982) ومع كثبان شبه جزيرة قطر (نبيل إيمانوي و محمود عاشور، ١٩٨٣).

جدول (٢) : الخصائص المورفومترية لبعض الكثبان الهلالية في بحر رمال الفوفرة.

الحجم (م <sup>3</sup> )	المساحة (م <sup>2</sup> )	متوسط العرض	متوسط الطول	متوسط القرنيين	القرن الشرقي	القرن الغربي	الارتفاع	متوسط طول الصياد	متوسط طول الكساح	متوسط طول المسدس
٩٧٤,١	١٥٢١,٩	١٦,٥	١٤,٠	٦,٨	٧,٤	٩,٠	٣,٨	١٦,٥	٤,٤	٢٩,٧
٨٢٨,٨	١١٩٣,٨	٢٤,٢	٢٩,٦	٩,٥	٩,٣	٩,٨	٤,١	٢٤,٢	٥,٩	١٤,١
١٢٤٢,٤	١٦٤٧,٧	٣٨,٩	١٣,٨	٤,٥	١٣,١	٤,٥	٤,٥	٢٩	٥,٩	١٩,٢
٧٠٥,٥	١٠٢٨,٧	٣٢,١	٨,٤	٨,٠	٨,٩	٤,١	٤,١	١٦,٧	٥,٣	١٨,٤
٦٧٥,٨	١١٥٨,٨	٣٢,٥	٤,٢	١٩,٧	١١,٠	٢٨,٤	٣,٥	٣٢,٥	٤,٣	١٨,٢
٤٥٧,٤	٧٨٠,٧	١٨,٧	٣١,٧	٧,٥	٧,٥	٧,٤	٣,٥	١٨,٧	٤,٢	١٩,٩
٣٦٤٠,٤	٣٦٨٢,٦	٥٦,٠	٢٩,٦	٣٥,٣	٢٩,٦	٢٣,٩	٥,٩	٤٢,٦	٩,٠	١٧,٤
٨٣٨,٣	١٢١٦,٤	٢٤,٥	٣٣,٩	١٤,٦	١٥,٨	١٣,٣	٤,١	٢٤,٥	٦,٠	١٣,٣
٢٤٣٢,٩	٢٦٧٨,٨	٣٨,٥	٥٥,٦	١٩,٣	٢٣,٥	١٥,١	٥,٤	٣٨,٥	٦,٦	٢٩,٦
١١٨,٣	١٦٧,١	٤٥,٨	٤٥,٨	٢,٣	٣٦,٠	١٠,٥	٣,٢	٣١,٧	٥,٦	١٦,٨
١٧١,٠	١٩٤١,١	٢٨,٣	٤٥,٨	١٨,٩	٢٢,٢	١٥,٦	٥,٢	٢٨,٣	٧,٢	١٩,٧
١٥١٣	١٩٥٥	٧٢,٩	٤٨,٩	٧,٠	٤,٦	٦,١	٤,٦	٢٢,١	٥,٣	٣٦,٥
٨٩٣,٢	١٣١٥,٥	٢٢,٢	٣٧,٤	١٠,٠	١٢,٠	٨,٨	١,٠	٢٢,٢	٥,٠	٢٢,٤
٥٠٧,٥	٤٨٨٥,٤	٦٥,٩	٣٥,٢	٦,٦	٧,١	٦,١	٤,٣	١٦,٦	٤,٠	٢٤,٥
١٢٨٨	١٣٦٩,١	١٧	٤,٤٤	٨,٠	١٠,٢	٦,٠	٥,٦	١٧	٦,٩	٢٩,٣
١٠١,٣	١٢٤٨,٢	١٩,٢	٣٨,٤	٦,٩	٨,٦	٥,٣	٤,٨	١٩,٢	٦,٠	٢٥,٤
٦٧٣,٦	١٢٠٢,١	١٥,٦	٣٧,٠	٤,٢	٤,٢	٤,٥	٣,١	١٥,٦	٣,٥	٢٩,٢
٤٤٤,٦	٨٩١,٣	٢٠,٥	٣١,٠	٨,٢	٧,٥	٩,٠	٣,١	٢٠,٥	٣,٨	١٨,٩
٥٢٢,٤	٩٤٠,٣	١٦	٣٠,٥	٤,٠	٣,٣	٤,٨	٣,٣	١٦	٣,٩	٢٢,٦
٣٣٤,٣	١٢٣٢,٦	٧	٢٧,٧	٥,٧	٦,٦	٦,٨	٣,١	١٧	٣,٨	١٨,١
١٠٤٢,٤	١٣٣٧,٣	٣٣,٤	٣٣,٤	٣٩,١	٣٩,١	١١,٢	١١,٩	٤,٤	٣,٣	٢٢,١
متوسط										

المصدر: الدراسة الميدانية وتم حساب المساحة من الصور الفضائية عالية الدقة بـلائحة أجهزة GPS. جميع القياسات بالเมตร

يتصل الكساح بالصباب عبر قمة حادة، تنهى منها الرمال التي تزيلها الرياح من نطاق القص فوق الكساح لتسقى في جانب منصرف الرياح (الصباب) بزاوية تتراوح بين  $30^{\circ}$ - $34^{\circ}$ ، ويتميز الصباب بقطاعه المستقيم، غير أنه يتصل بسطح الأرض بوحدة سفلی مقعرة يتراوح إينحدارها بين  $1-5^{\circ}$  (شكل ٢).

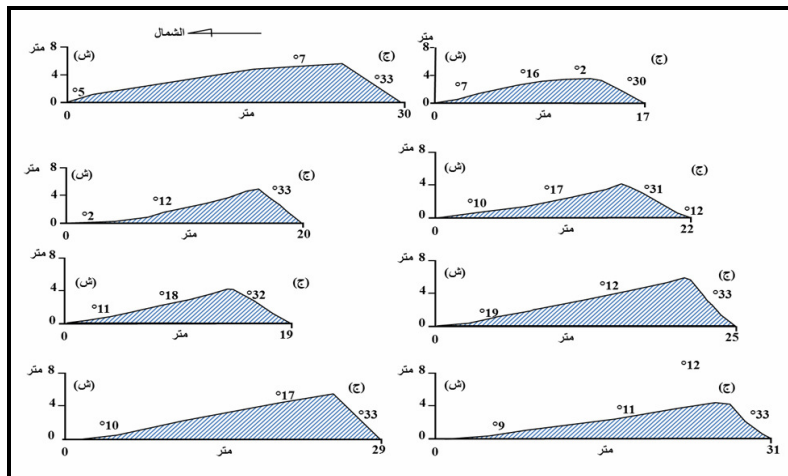
- تتراوح أطوال الكساح بين  $18,1 - 36,5$  مترا بمتوسط عام  $22,1$  مترا، وتتبادر أطوال الصباب بين  $3,5 - 7,2$  مترا بمتوسط عام  $5,3$  مترا. بذلك يوجد تباين عام في أطوال الكثبان الهلالية بين  $27,7 - 56$  مترا بمتوسط قدره  $39,1$  مترا.

- يتميز قرون الكثبان بالقصر الشديد بالمقارنة مع الكثبان الهلالية في منخفض الخارج (Embabi, 1982)، والكثبان الهلالية في شبه جزيرة قطر (نبيل إمبابي و محمود عاشور، ١٩٨٣). كما تتسنم باساقها بوجه عام نتيجة للتقرب الشديد بين أطوالها، حيث تتراوح أطوال القرون الشرقية بين  $4 - 35,3$  مترا، بينما تتراوح أطوال القرون الغربية بين  $4,5 - 36$  مترا، بمتوسط عام  $11,2$  مترا.

- يتباين عرض الكثبان بين  $16 - 42,6$  مترا بمتوسط عام  $23,4$  مترا.

- يتراوح إرتفاع الكثبان بين  $1 - 9,5$  مترا بمتوسط عام  $4,1$  مترا.

- تتراوح مساحات الكثبان بين  $167,4 - 3682,4$  مترا<sup>٣</sup> بمتوسط عام قدره  $1378,3$  مترا<sup>٣</sup>، كما تتراوح أحجام الكثبان بين  $118,3 - 3640,4$  مترا<sup>٣</sup> بمتوسط عام قدره  $1042,3$  مترا<sup>٣</sup>.



شكل (٢) : قطاعات طبوغرافية لبعض الكثبان الهلالية في بحر رمال الفرافرة.

المصدر: الدراسة الميدانية.

ولما كانت تلك الهوامش تتصرف بقلة كميات الرمال بوجه عام فإن تحليل الصور الفضائية المتتابعة أوضح استقراراً في الشكل العام للكثيب مع قلة حركته السنوية وفقاً لحجمه، ومن ثم فإن معدلات تطورها بطيئة نسبياً، وإن حدثت فهي لا تتطور على نحو متماثل أو متناظر، إذ عادة ما يزيد طول أحد قرنيها على حساب الآخر نتيجة لتباين نظام الرياح المؤثرة وتباين كميات الرمال الواردة إليها من المصدر، مع تباين حركتها وفقاً لحجم الكثيب (نبيل إمبابي ومحمود عاشور ١٩٨٥، صابر الدسوقي ١٩٨٨). ونتيجة لذلك تظهر الكثبان الهلالية المركبة نتيجة للتحام كثيبين هلالين أو أكثر.

ومع إستمرار عمليات تلامم الكثبان الهلالية مع بعضها البعض، وتحت أثر الرياح المحلية وطبوغرافية السطح يتعدى الشكل العام للكثبان نتيجة لتطورها على نحو غير متناسق مع تداخلها مع الأشكال الرملية الأخرى، ومن ثم يبتعد شكلها عن الشكل الهلالي النموذجي مع تعدد القمم المدببة، وعدم تناسب القرون، وتعدد الأوجه شديدة الإنحدار (الصباب) نتيجة لترابط كميات كبيرة نسبياً من الرمال، وهو ما يفضي إلى تطور أشكال أخرى أكثر تعقيداً من الكثبان الرملية على نحو ما سيرد ذكره لاحقاً.

بذلك تتصرف الكثبان الهلالية في بحر رمال الفرافرة بكونها من النوع العادي البسيط، حيث يصل متوسط طولها ٣٩,١ مترًا، ومتوسط العرض ٤٢,٤ مترًا، أما متوسط إرتفاعها فلا يزيد عن ٤,١ مترًا. كما يمكن بسهولة تمييز الكثبان الجنينية embryonic dunes على كافة هوامش بحر رمال الفرافرة دون إستثناء تقريباً، وكذلك تلك الكثبان الهلالية في مراحل تكونها الأولى مع بداية ظهور القرون (شكل ٣). ويؤدي هذا الإتساق العام في شكل الكثبان الهلالية في بحر رمال الفرافرة إلى وجود علاقات موجبة بين أبعاد الكثبان ممثلة في الطول والعرض والإرتفاع وحجم الكثيب. حيث يتضح من جدول (٣) وجود إرتباط طردي متوسط بين كل من متوسط الطول والعرض يصل ٠٠,٥٣، وإرتباط طردي بين كل من متوسط الطول والإرتفاع يصل ٠٠,٦٠، وكذلك بين متوسط الطول والحجم يصل ٠٠,٦١. بينما في المقابل يبدى متوسط العرض إرتباط طردي ضعيف مع كل من الإرتفاع والحجم يصل ٠٠,٣٤ و ٠٠,٤٧ على التوالي، ويبدى الإرتفاع إرتباط طردي متوسط مع حجم الكثيب يصل ٠٠,٦٦. ونخلص من هذه العلاقات أن نمو الكثيب تدريجياً يقابله بالضرورة زيادة في أبعاده المختلفة، مع ثبات النسبة بين أبعاد الكثيب تقريباً.

جدول (٣) : مصفوفة العلاقات الإرتباطية بين أبعاد الكثبان الهرالية في بحر رمال الفرافرة.

الحجم	الارتفاع	متوسط العرض	متوسط الطول	
٠,٦١	٠,٦٠	٠,٥٣	١	متوسط الطول
٠,٤٧	٠,٣٤	١		متوسط العرض
٠,٦٦	١			الارتفاع
١				الحجم

المصدر: من حساب الباحث من واقع القياسات الميدانية.



شكل (٣) : (أ) كثبان جنينية في شمال شرق المنخفض،

(ب) كثيب هلاي في بداية مرحلة تكوين القرون.

#### ٤) الكثبان الطولية :

تتشكل الكثبان الطولية في المناطق الشديدة الجفاف، مع وفرة الرمال في ظل نظام ريحى أحادى عريض bidirection wind regime أو ثنائى الإتجاه wide unimodal wind regime وأما كانت نسبة الهبوب الغالبة في منخفض الفرافرة هي للرياح الشمالية (Lancaster, 1995)

الغربيّة بوجه عام (٤٠,٦٩٪) في معظم شهور السنة (جدول ١)، فقد أدى ذلك إلى تكوين مجموعة من الكثبان الطولية المتوازية بإنحراف يتراوح بين ٣٤٥° - ٣١٥° عن الشمال. ويمكن تمييز عدة أنماط من الكثبان الطولية في بحر رمال الفرافرة على النحو التالي:

**جدول (٤) :** الخصائص المورفولوجية لبعض الكثبان الطولية في بحر رمال الفرافرة.

مسلسل	طول (كم)	متوسط	الارتفاع	الاتجاه	الإحداثيات
١	١,٨	٧٧	٧	٠٣١٠	٠٢٨١١٠٢ E ٠٢٦٥٦٣٩ N
٢	٣,٣	١٣٣	٢٠	٠٣١٥	٠٢٨١٢٤٦ E ٠٢٦٥٦٣٠ N
٣	٣,٦	٢٠١	٨	٠٣٢٠	٠٢٨١٧٣٤ E ٠٢٦٥٢٣٠ N
٤	٤,٩	٢٧٢	٨	٠٣٢٥	٠٢٨١٧٢٣ E ٠٢٦٥١٢٨ N
٥	٥,٣	١٩٦	١٢	٠٣٢٠	٠٢٨٢٠٥٦ E ٠٢٦٥٠١٧ N
٦	١٧	٢٩٨	٣٧	٠٣٤٥	٠٢٨٢٠١٩ E ٠٢٦٣٧٠٢ N
٧	١٠,١	٤٠٠	٣٤	٠٣٤٠	٠٢٨٢٠٥٢ E ٠٢٦٤٤٣٠ N
٨	٨,٣	٢٠٥	٢٥	٠٣٣٥	٠٢٨٢٢٢٢ E ٠٢٦٤٧١٠ N
٩	٧,٦	١٧٩	١٥	٠٣٢٠	٠٢٨٤٠٤٠ E ٠٢٦٢٨١٨ N
١٠	١٢,٩	٣٠٣	١٧	٠٣٢٨	٠٢٨٤٨٣٨ E ٠٢٦١٦٤٠ N
١١	٢٤	١٨١	٣٢	٠٣٥٠	٠٢٨٤٥٥٠ E ٠٢٦٢٤١٩ N
١٢	١٥,٣	٣٧٨	٢٢	٠٣٤٥	٠٢٨٤٤٤٦ E ٠٢٦٢٥٢٨ N
١٣	٦,٣	٣٠٠	٣١	٠٣٤٠	٠٢٨٤٣١٧ E ٠٢٦٢٤٠٧ N
١٤	١٢,٥	١٦١	٤٠	٠٣٤٥	٠٢٨٤١٣٨ E ٠٢٦٢٥٠٨ N
١٥	٣,٩	٧٨	١٤	٠٣٣٥	٠٢٨٤٢١ E ٠٢٦١٩٠٨ N
١٦	١,٦	١٦٢	١٢	٠٣١٥	٠٢٨٤٢١٤ E ٠٢٦١٩٠٩ N
١٧	١١,٢	١٥٤	٢٤	٠٣٤٥	٠٢٨٤٤٢٨ E ٠٢٦١٩٢١ N
١٨	٩,٥	١٣٧	٢٨	٠٣٤٠	٠٢٨٤٣٥٨ E ٠٢٦١٨٤١ N
١٩	٦,٣	١٥٣	١٨	٠٣٣٥	٠٢٨٥٠٠٧ E ٠٢٦٠٤٤ N

المصدر: قياس ميداني مع الإستعانة بجهاز GPS وبرنامج Google Earth.

**٤-١ الكثبان الطولية المتوازية :**

كثبان مستقيمة متوازية قصيرة الطول نسبياً (شكل ٤)، حيث تتراوح أطوالها بين ١ - ٥ كم، ويتراوح عرضها بين ١٥٠ - ٣٠٠ مترًا. أما مقدار التباعد بينها فيتراوح بين ٢٠٠ - ٤٥٠ متر، ويتراوح إرتفاعها بين ٥ - ١٥ مترًا فوق قاع المنخفض. وينتشر هذا النوع من الكثبان الطولية في الجزء الشمالي من بحر رمال الفرافرة، خاصة إلى الجنوب من منطقة كراوبين وبالقرب من الحافة الشرقية للمنخفض، وبكاد يختفي إلى الجنوب من دائرة عرض  $٣٠٣^{\circ}$   $٦٤٣^{\circ}$   $٩٢٦^{\circ}$ . ويبدو هذا النوع من الكثبان الطولية ذو قمة حادة مستقيمة غير متعرجة، غير أنه في بعض الأحيان يفقد إستقامته وتتعدد وتتعرج فيه القمم عندما ينتهي إلى عائق طبوغرافي.



شكل (٤) : أحد الكثبان الطولية المستقيمة شمال غرب بحر رمال الفرافرة.

**٤-٢ الكثبان الطولية ذات القمم المتعرجة :**

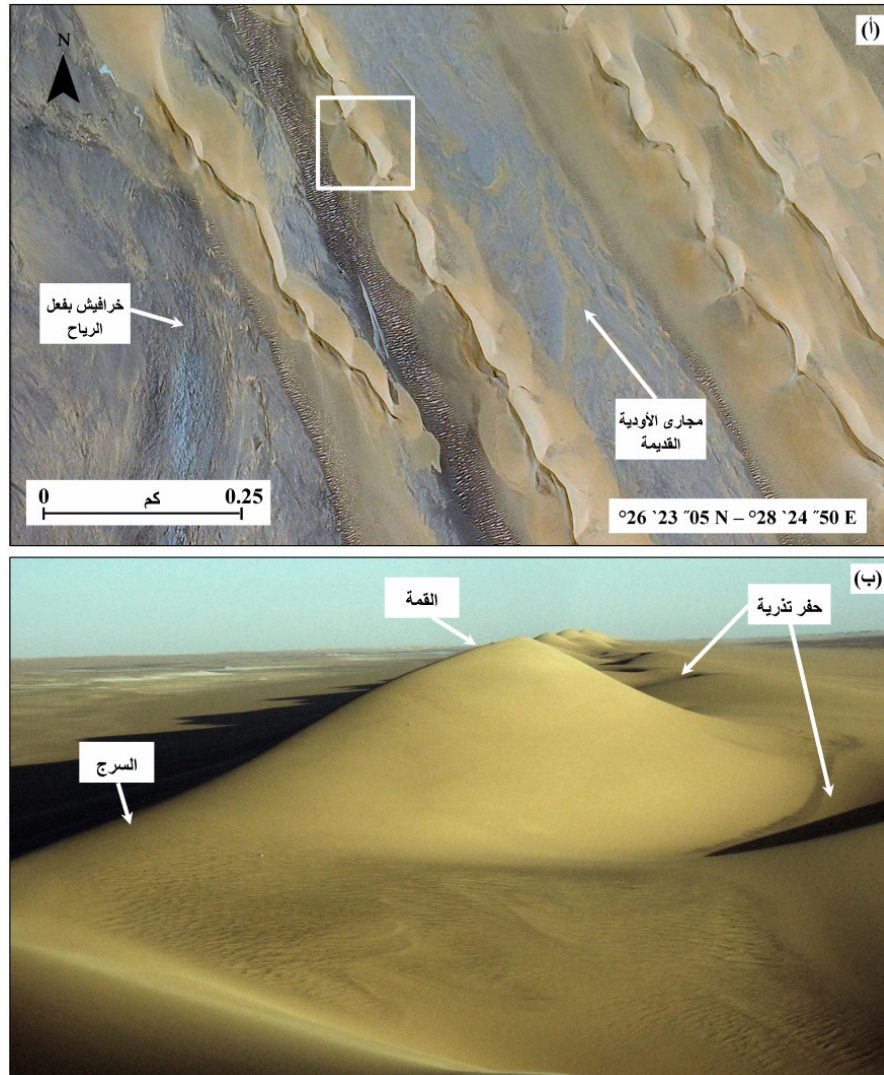
تبعد الكثبان الطولية في بحر رمال شرق الفرافرة تزداد طولاً وإتساعاً وإرتفاعاً بدايةً من دائرة عرض  $٦٤٨^{\circ}$  تقريباً. كما تتعدد وتتعرج قممها بشدة على طول إمتداد محور الكثيب الواحد، لدرجة تبدو معها القمم كما لو كانت عبارة عن مجموعة من القباب الرملية المتقاطرة على أبعاد تكون منتظمة تتراوح بين ٢٠ - ١٥٠ متر، غير أنها فعلياً تتصل فيما بينها عبر حافات رملية طولية أقل إنخفاضاً من القمة نفسها، لتشكل معاً ما يعرف بسلسلة القمم والسروج peaks and saddles حسب تسمية (Bagnold, 1941) (شكل ٥). ويوضح تحليل الصور الفضائية أن هناك تبايناً كبيراً في عدد القمم المتقاطرة حيث تتراوح أعدادها بين ١٠ - ٩٥٠ قمة تقريباً على طول خط القمم، لذلك

فالعلاقة الإرتباطية قوية جداً بين كل من طول الكثيب وعدد القمم (٩١، ٠٠). ويزداد ارتفاع القمم في منتصف الكثيب تقريباً وليس عند الأطراف، وهو أمر طبيعي حيث يتعرض الطرف الشمالي للكثيب لعمليات إزالة واسعة بفعل الرياح التي تعمل على حركة الرمال وتتدفقها على طول المحور الرئيسي للكثيب، ومن ثم فكثيراً ما تختفي القمم الحادة عند البدايات الأولى للكثبان الطولية. أما عند الطرف الجنوبي فيقل معدل الإمداد بالرمال مع ضعف طاقة الرياح كذلك على الحمل، ومن ثم تبدو الأطراف الجنوبية للكثبان الطولية ضيقة مدببة، وهو ما يؤدي إلى إسطالة الكثيب نحو الجنوب دون أن يزداد ارتفاعه.

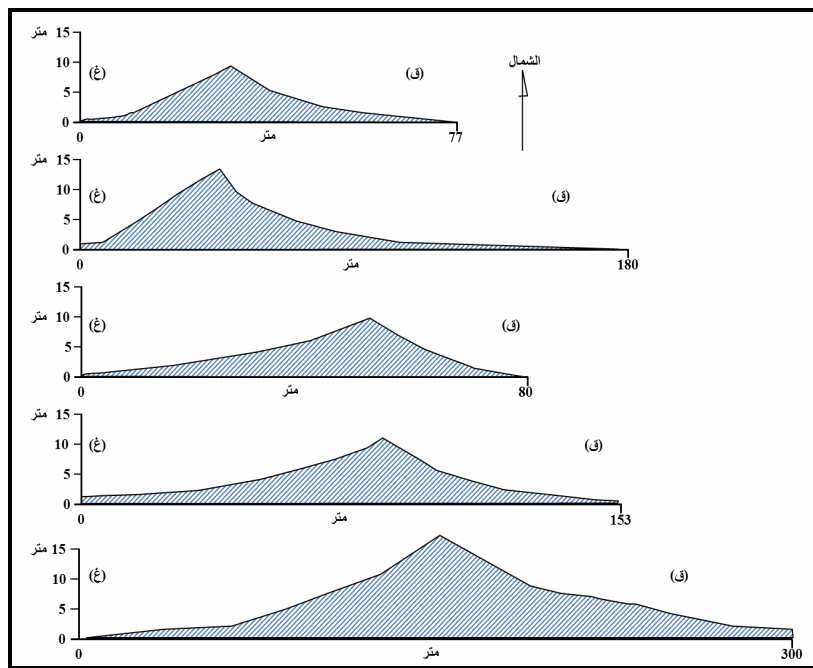
ويبدأ الكثيب من قاعدة عريضة نسبياً بإنحدار يتراوح بين  $2 - 4^{\circ}$  من الجانبين، ثم يشتد الإنحدار بإتجاه قمة الكثيب ليتراوح بين  $5 - 18^{\circ}$ ، لذا فإن أغلب الكثبان الطولية لا يبدوا قطاعها العرضي متماثل (شكل ٦). ويتراوح ارتفاعها في بحر رمال شرق الفرافرة بين  $7 - 40$  متراً فوق سطح الأرض المجاورة، كما يتراوح متوسط عرضها بين  $77 - 400$  متر، ويتراوح متوسط طولها بين  $1,6 - 17$  كم، لتكون بذلك النسبة بين متوسط العرض ومتوسط الطول  $1 : 39$  (جدول ٥). وينعكس هذا التباين بين أبعاد الكثيب في علاقة إرتباطية ضعيفة بين الطول وكل من متوسط العرض والإرتفاع تصل إلى  $0,39$  و  $0,45$  على الترتيب. كما تبتعد الكثبان عن بعضها البعض بمسافات تتراوح بين  $70 - 300$  متر، ويشير ذلك إلى مدى التوازن بين كل من شدة هبوب الرياح من جهة وتوافر الرمال من جهة أخرى. أما عن محاور الكثبان الرئيسية فتتراوح بين  $310 - 350^{\circ}$ ، وهو ما يشير إلى سيادة الرياح الشمالية الغربية معظم شهور السنة ودورها في توجيه محاور الكثبان الرئيسية.

#### ٤- ٣- الكثبان الطولية المتشعبة :

يتكون هذا النمط نتيجة للإلحام أو نفرع بعض الكثبان الطولية بزاوية حادة لتكون كثيب واحد، حيث تبدو نقطة الإلحام على شكل حرف (Y) اللاتيني، وتعرف نقطة المفترق tanning fork junction عندما يكون إتجاه زاوية الإنقاء في جانب هبوب الرياح (Lancaster, 1995)، ويسمى بذلك بالإلقاء العادي. ويرجع في الغالب إلى زيادة مفاجئة في درجة خشونة السطح، مثل السهول الحصوية والوعائق الطبوغرافية. وكذلك في المناطق التي يزداد فيه التباعد نسبياً بين الكثبان الطولية، حيث يتراوح مقدار التباعد بين الكثبان المتشعبة في بحر رمال الفرافرة بين  $250 - 500$  متر، ومن ثم يسمح هذا التباعد بقدر من التعديل أو التكيف في مورفولوجية الكثيب مع إتجاه الرياح المؤثرة وظروف الإرتساب. أما لو كان إتجاه زاوية الإنقاء في جانب منصرف الرياح فيعرف حينئذ بالإلقاء المعكوس، وهو ناتج عن الإرتفاع التدريجي في سطح الأرض (شكل ٧).

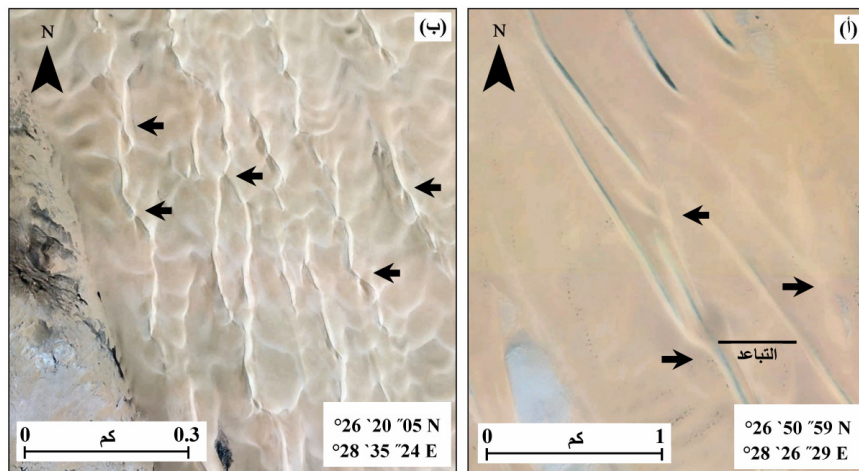


شكل (٥) : (أ) تقاطر القمم على طول إمتداد محور أحد الكثبان الطولية في بحر رمال شرق الفرافرة كما تبدو من صور Google Earth ويشير المربع الأبيض إلى موقع الصورة السفلية، (ب) تتبع القمم والسروج.



شكل (٦) : القطاعات العرضية لبعض الكثبان الطولية في بحر رمال الفرافرة.

المصدر: الدراسة الميدانية.



شكل (٧) : نقع وتشعب الكثبان الرملية في بحر رمال الفرافرة حيث تشير الأسماء السوداء إلى نقاط الإنقاء، ويلاحظ كذلك تباين التباعد بين الكثبان في الصورتين: (أ) الإنقاء العادي، (ب) الإنقاء المعكوس.

المصدر: Google Earth

## جدول (٥) : الخصائص المورفومترية لعدد من كثبان العوائق الطبوغرافية.

الاتجاه	العرض ١ (م)	الارتفاع ٢ (م)	الارتفاع ١ (م)	العرض ٢ (م)	العرض ٣ (م)	الطول (م)	مسلسل
٠٣٥٠	٣	٦	١٥	٣٣	١٠٢٠	١	
٠٣٥١	٣	٥	١١	٣٦	٨٦٣		٢
٠٣٥٤	٢	١٥	٢٩	٧٥	١٧١١		٣
٠٣٥٧	٤	٢٠	٣٧	١٣٣	٢٦١٤		٤
٠٣٥٧	٣	٨	١٢	٧٥	١٣٢٦		٥
٠٣٤٥	٤	٣٢	٣٠	١٠٧	٣٥٦٠		٦
٠٣٤٧	٢	٦	٢٦	٦٧	١٠٢٢		٧
٠٣٤٨	٢	١١	٢٠	٣٣	٩١١		٨
٠٣٥٨	٢	٥	٢٤	٨٣	٢٧٤٠		٩
٠٣٤٩	٢	١١	١٤	٧٣	١٥١١		١٠

العرض ١ = العرض عند بداية الكثيب، العرض ٢ = العرض عند نهاية الكثيب، الارتفاع ١ = الارتفاع عند بداية الكثيب، الارتفاع ٢ = الارتفاع عند نهاية الكثيب

المصدر: قياس ميداني مع الإستعانة بأجهزة GPS وصور Google Earth .

وتتميز الكثبان الطولية - بوجه عام - بكثافة عالية في المناطق التي تغطيها مقارنة بأراضي ما بين الكثبان (Lancaster, 1995)، كما تتميز بالانتظام الشديد ( Cooke & Warren, 1973). أما الأراضي الفاصلة بين الكثبان الطولية فيغطيها فرشات رملية وسطوح حصوية خشنة، كما قد يظهر من بينها أحياناً قاع المنخفض الأصلي من الحجر الطباشيري حيث تظهر عليه الحزوز الناتجة عن نحت الرياح.

أما ديناميكية النحت والإرساب على الكثبان الطولية فتتميز بالتعقيد، إذ يتوقف ذلك على زاوية هبوب الرياح على قمة الكثيب. فالجانب الواقع في ظل الرياح leeside ليس نطاق ارساب فقط، وإنما أيضاً يتعرض لعملية نحت بسبب انحراف الرياح (Tsoar, et al., 1985). ويتوقف ذلك على زاوية سقوط الرياح على قمة الكثيب، فعندما تقل هذه الزاوية عن  $40^{\circ}$  تزداد قدرة الرياح على النحت ونقل الرمال على طول الجانب الواقع في ظل الرياح. وعندما تقترب زاوية السقوط من  $90^{\circ}$  تتحفظ سرعة الرياح وتبدأ في الترسيب.

كما أوضحت التجارب التي قام بها (Parteli, et al., 2009) أن مورفولوجية الكثبان الرملية في بيئه رياح ثنائية الإتجاه bimodal ترتبط بعاملين رئيسيين هما مقدار الزاوية بين إتجاهي الرياح  $Q_w$  ، زمن أو مدة هبوب الرياح  $t_w$  من كل جانب. فعندما تكون الزاوية المحصورة بين إتجاهي الرياح حادة ( $Q_w = 40^\circ$ ) فإن الأشكال الرملية تكون مستعرضة (كثبان العرضية) على إتجاه الرياح، وكلما زاد مقدار تلك الزاوية لأكثر من  $90^\circ$  ( $Q_w = 120^\circ$ ) فإن الأشكال الرملية تستطيل مع إتجاه هبوب الرياح (كثبان طولية). من ناحية أخرى كلما قل زمن الهبوب تشكلت كثبان طولية مستقيمة، وكلما زاد زمن الهبوب تكونت كثبان السيف المترعة وذلك في حالة وفرة الرمال، حيث يتشكل الكثيب للتكيف مع إتجاهي الرياح المؤثرة.

#### ٥) كثبان العائق الطبوغرافية :

يصنف (Pye & Tsoar 2009) كثبان العائق الطبوغرافية على النحو التالي:

- كثبان الصدى Echo أو كثبان الصاعدة Climbing، وت تكون في الجانب المواجه للرياح.
- كثبان الظل Lee Dunes، وت تكون على جانب ظل الرياح.
- كثبان قمة الجرف Cliff-top، وت تكون فوق سطح العائق الطبوغرافي.

ويعد النوعان الأول والثاني هما الأكثر انتشارا بين أنواع كثبان العقبات الطبوغرافية في بحر رمال الفرافرة، ذلك إذ أن أغلب العوائق الطبوغرافية التي يتكون أمامها أو خلفها هذا النوع من الكثبان تمثل قارات صخرية صغيرة نسبياً أو بقايا الأعمدة الكارستية المتأكلة. أما كثبان قمة الجرف فتظهر في مواضع قليلة جداً عند الحافة الشمالية الشرقية للمنخفض حيث تهبط الرمال منها إلى قاع المنخفض، وكذلك فوق قمة جبل شاوشاو قبل هبوط الكثبان ناحية الجنوب بإتجاه منخفض الداخلة (شكل ٨).

وكثبان العائق الطبوغرافية بوجه عام قليلة الإنشار في بحر رمال الفرافرة مقارنة بأنواع الكثبان الأخرى، إذ تظهر موضعياً بفعل المظاهر التضاريسية التي تعوق مسار الرمال لا سيما بالقرب من هوماش المنخفض. ويبدو واضحاً في الجزء الشمالي والغربي من المنخفض بوجه عام، حيث تحمل مسارات الرياح الشمالية الرمال وتتحرك بها عبر بطون الأودية. كما تظهر كذلك على طول الحافة الجنوبية لجبل شاوشاو في الأطراف الجنوبية لمنخفض الفرافرة، حيث تبدأ الرمال في الهبوط عبر بطون الأودية إلى منخفض الداخلة. أما عن خصائصها المورفومترية (جدول ٦) فيتراوح طولها بين ٨٦٣ - ٢٧٤٠ متر، بمتوسط عام ١٧٢٧ متر تقريباً، أما عرضها فهو ضئيل بالنسبة للطول، وإن كانت البدايات الأولى للكثبان أكثر إتساعاً عن أطرافها النهائية. ويتراوح عرض الكثبان عند بداياتها بين ٣٣ - ١٣٣ متر، بينما يضيق العرض عند الأطراف ليتراوح بين ١١ - ٣٠ متراً.

وبالمثل يتباين الإرتفاع بين بداية الكثيب ونهايته، حيث تتراوح إرتفاعات الكثبان عند بدايتها بين ٥ - ٢٠ مترا، بينما يقل الإرتفاع عند الأطراف الجنوبية للكثبان ليتراوح بين ٢ - ٤ أمتار. ويشير التصاليح التدريجي في عرض الكثبان مع تناقص الإرتفاع إلى الضعف التدريجي في قدرة الرياح على نقل الرمال على طول محور الكثيب في إتجاه منصرف الرياح. أما محاور الكثبان الرئيسية فتنتفق مع الرياح الشمالية والشمالية الغربية بوجه عام، حيث تتراوح إتجاهات الكثبان بين ٣٤٥ - ٣٥٨°.



شكل (٦١) : (أ) نمو كثبان الظل على طول الحافة الجنوبية لجبل شاوشاو (من Google Earth)،  
 (ب) كثبان الظل تهبط عبر الحافة الشمالية لمنخفض الداخلة إلى الشمال من قرية تنيدة.

## ٦) الكثبان المركبة والمعقدة (الذراع) :

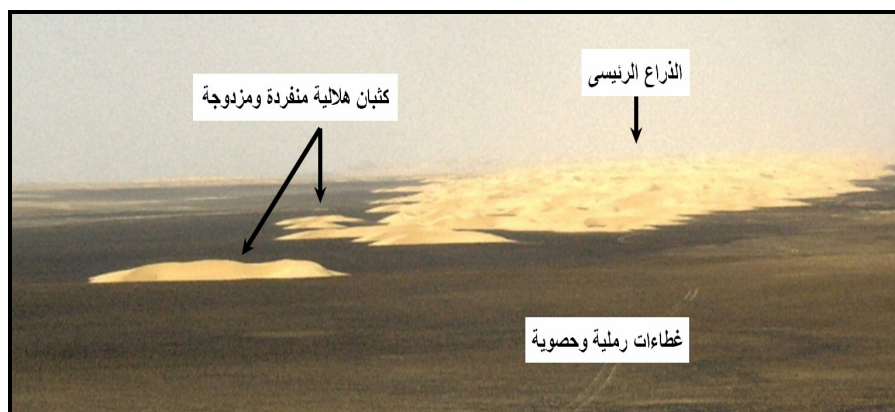
يعتبر تباين أحجام الكثبان الرملية هو أحد الخصائص المميزة لبحار الرمال (Goudie, 2013)، من ثم تشغّل الكثبان المركبة والمعقدة حوالي ٤٦,٦٪ من الكثبان الموجودة في بحار الرمال في العالم (Fryberger & Goudie, 1981). فالأشكال الرملية الكبيرة تغطيها الأشكال الأقل حجماً، والأقل حجماً تغطيها أشكالاً أخرى أصغر وهكذا. وتبدو في النهاية التجمعات الرملية داخل بحار الرمال في شكل مركب ومعقد، والذي يتضمن بداخله مجموعة من الأشكال الرملية المتداخلة فيما بينها بأحجام مختلفة، والتي تتنظم في نطاقات أو حافات موازية لمسارات هبوب الرياح. ويستخدم كل من (Wilson, 1972) مصطلح ذراع draa للإشارة إلى الكثبان المركبة والمعقدة، كما تعرف كذلك بالكتبان العملاقة Lancaster, 1995; Goudie, ) mega-dunes (Bagnold, 1931) أول من ميز الذراع عن الكثبان الرملية الأخرى، حيث أطلق Bagnold, ( sand levees ) علىها مصطلح ظهر الحيتان back whales أو الجسور الرملية (Besler, 2005). أما (Bubenzer & Besler, 2008) و (Besler, 2008) فيميزاً الذراع عن بقية الأشكال الرملية الأخرى من حيث عظم أبعادها المورفولوجية مثل الطول والتباعد، علاوة على الطول الموجي الذي قد يزيد عن ١ كم. كما أنها تنشأ في الجزء الأدنى من الطبقة الحدية من الغلاف الجوي، والذي يقل فيه التأثير الناجم عن الإحتكاك بسطح الأرض، بينما تنشأ أنواع الكثبان البسيطة تحت تأثير الرياح السطحية وخشونة السطح (Besler, 2008).

والكتبان المركبة والمعقدة (الذراع) هي الشكل الرملي الأكثر إنتشاراً في بحر رمال الفرافرة، شأنه في ذلك شأن بحر الرمال العظيم حسب دراسة (Besler, 2008). فالأشكال الرملية تتنظم في مجموعة من النطاقات أو الأذرع الطولية إلى الجنوب مباشرةً من دائرة عرض ٣٠°٢٧، ويختلف عدد هذه النطاقات بإختلاف دائرة العرض، إذ قد يلتحم بعضها البعض فترتاد إتساعاً، أو قد ينسلخ عن النطاق الواحد بضعة نطاقات (ذراع) أخرى ثانوية نتيجة لظروف السطح المحلية، مثل إعتراض القارات الصخرية مسار النطاق الرئيسي (شكل ٩). ويصل عدد هذه النطاقات ١٥ نطاقاً عند دائرة عرض ٤٩°٢٦، بينما يمكن تمييز ١٠ نطاقات عند دائرة عرض ٣٠°٢٦ إلى الشمال قليلاً من جبل شاوشاو. أما إلى الجنوب من ذلك فيقل عدد النطاقات للنصف تقريباً حيث يمكن بالكاد تمييز ٥ نطاقات، أكثرها وضوهاً هو ذلك النطاق الموزي مباشرةً للحافة الغربية لجبل شاوشاو، بينما يقل وضوح النطاقات الأخرى باتجاه شرقاً أو غرباً، نظراً لتحول dismantling duuble barchans المعقدة إلى مجموعة من الكثبان الهلالية البسيطة المفردة أو المزروحة (Bagnold, 1941)، كنتيجة طبيعية لنقص كمية الرمال والإرتفاع التدريجي لقاع المنخفض

(شكل ١٠). بذلك تنخفض بشدة كثافة الكثبان في الجنوب نتيجة لضيق عرض نطاقات الكثبان الرئيسية، والذي يقابل إتساع نسبي للأراضي ما بين الكثبان.



شكل (٩) : النهايات الجنوبية لبعض نطاقات الكثبان في بحر رمال الفرافرة من أعلى جبل شاوشاو.



شكل (١٠) : ظهور الكثبان الهلالية المنفردة والمزدوجة عند نهايات نطاقات الكثبان الرئيسية.

ويتراوح ارتفاع الكثبان المعقدة في بحر رمال الفرافرة بين ٤٧ - ٦٦ مترا فوق الأرضى المجاورة، بمتوسط عام قدره ٣٥ مترا. ويتتألف النطاق في الأساس من وحدتين رئيسيتين هما الجزء السفلى أو القاعدة وتمثلها ظهور الحيتان حسب تسمية (Bagnold, 1941)، ثم الوحدة العليا وتمثلها مجموعة الكثبان الحديثة المركبة والمعقدة، وذلك يعني أننا بصدور التغريق بين مجموعة من الكثبان الثابتة fixed dunes، تعلوها مباشرة مجموعة من الكثبان الحديثة التي تمتاز بقائمتها المتغيرة.

أما الوحدة السفلية (ظهور الحيتان) فتتميز في بحر رمال الفرافرة بعدة سمات جيومورفولوجية يمكن إيجازها على النحو التالي (شكل ١١) :

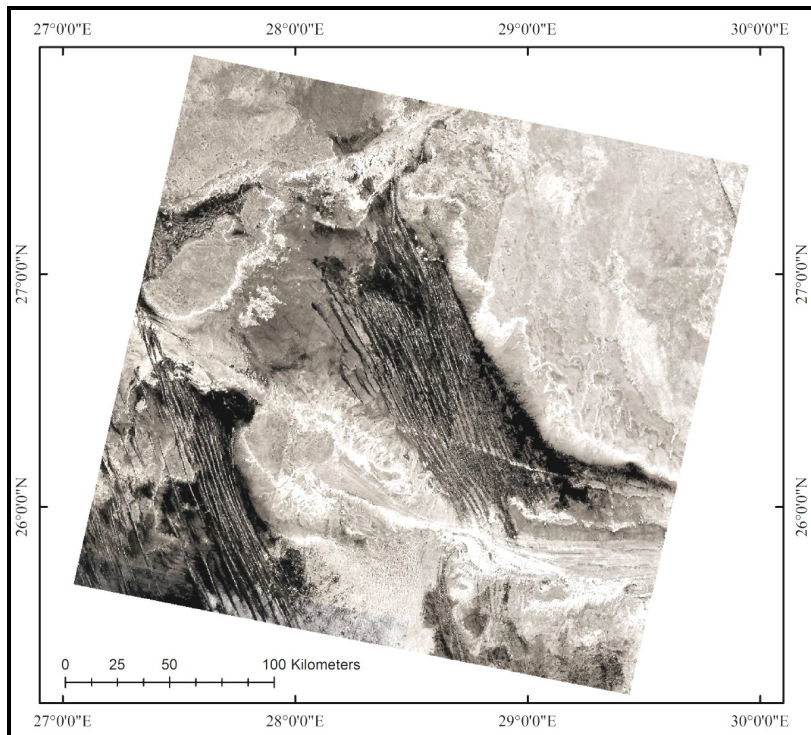
- تبدو ظهور الحيتان على شكل كثبان عملاقة mega dunes طولية متوازية، تمتد لعشرات الكيلومترات.
- تتميز بقممها المستديرة rounded غير الحادة.
- رمال سطحها متتماسكة نسبياً، ويغلب عليها اللون الرمادي الداكن نتيجة لتطور غطاء خفيف من التربة السطحية مع سيادة الرمال الخشنة (٠,٥ - ١ مم)، ومن ثم فهي أقل تأثراً بالتغييرات الفصلية التي تطرأ على إتجاهات الرياح على عكس أنواع الكثبان الحديثة الأخرى التي تعلوها.



شكل (١١) : ذراع بلايستوسيني يغطيه موضعياً كثيب طولي حديث،  
ويلاحظ إستدارة القمة وإختلاف لون رواسبه السطحية.

ويمكن تمييز ظهور الحيتان في الميدان بوضوح من خلال شكلها المميز وخصائص رمالها، غير أنه يصعب تمييزها من الصور الفضائية في المجال المرئي optical remote sensing ، إلا أن تحليل صور الرادار ENVISAT من نوع أسار المتقدم Advanced Synthetic (ASAR) يكشف عن إمتداداتها بوضوح في بحر رمال الفرافرة (شكل ١٢)، حيث تبدو في شكل مجموعة من الخيوط المتوازية parallel strings على حد وصف (Holm 1961)، يتدرج لونها بين اللونين الرمادي والأبيض، بينما يعكس اللون الأسود قاع المنخفض أسفل منها مباشرة. ذلك إذ أن لنظام التصوير أسار المتقدم ASAR قدرة على اختراق الرواسب الرملية الجافة

وإظهار خصائص ما تحت السطح وذلك في القناة C ذات الطول الموجي ٣,٧٥ - ٧,٥ سم (ESA .(2007

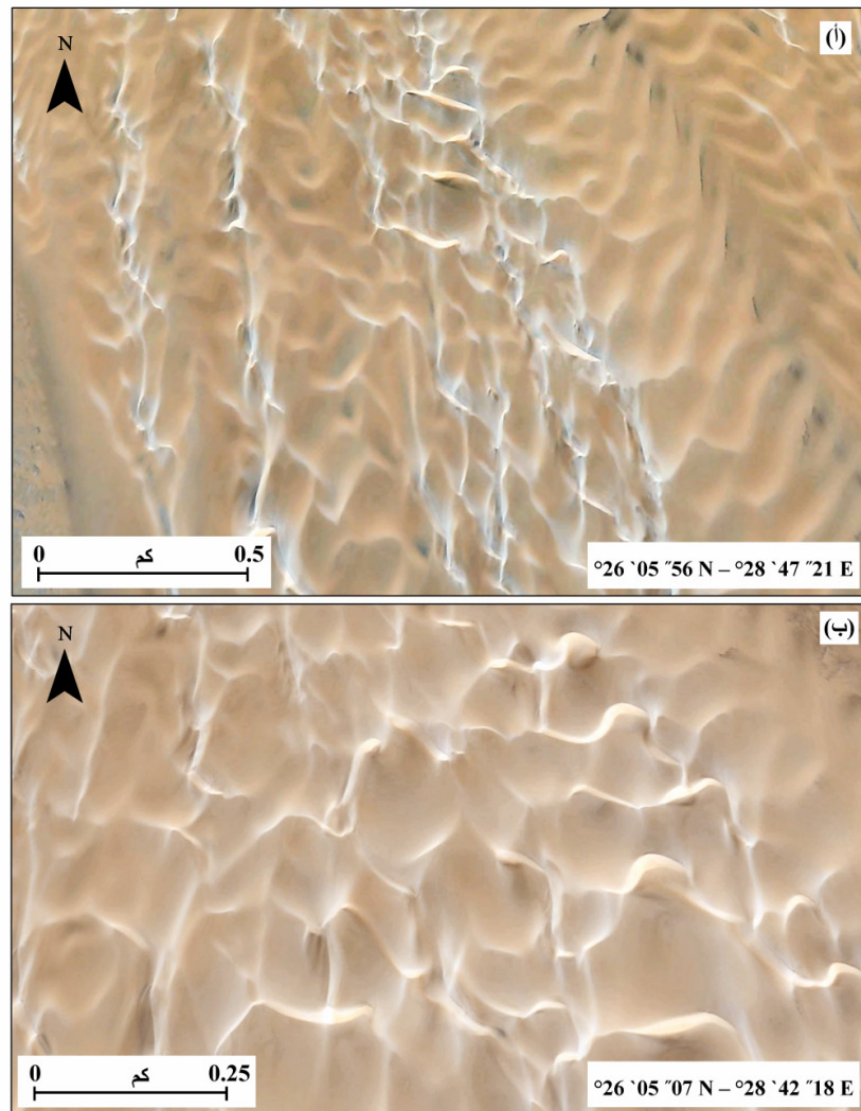


شكل (١٢) : موزلٍك من صور ENVISAT من نوع اسار المتقدم ASAR يوضح الأذرع البلاستوسينية في بحر رمال الفرافرة في شكل خطوط متوازية يتدرج لونها بين الأبيض والرمادي ، بينما يشير اللون الأسود إلى قاع المنخفض.

أما الوحدة العليا فتتألف من مجموعة من الكثبان المركبة والمعقدة الحديثة ذات الرمال المفككة، وقد نشأت هذه الوحدة في ظل ظروف الجفاف الحالية (الهولوسين) والتي يمكن تسميتها بالذراع الهولوسينية، ذلك إذ أن زيادة كمية الرمال المتدفقة مع الرياح الرئيسية تؤدي إلى تراكب وتلامح الكثبان الهلالية لتكون حافات هلالية غير منتظمة الشكل والحجم وكثيرة التعرج، حيث يمكن تمييز الألسنة والأَهْلَة barchanoid and linguoid elements فيها بوضوح، إذ تبدو الحواف معقوفة بشدة حتى أن نهايات الصباب لكل حافة منها تمتد للتلاصق

بدايات الكساح في الحافة التالية لها، لتحصر فيما بينها بذلك منخفض رملی بيضاوی الشكل. أما السنة تلك الحافات فإنها تمتد هي الأخرى تحت تأثير الرياح حتى تتصل بالحافة التالية لها، ومن ثم تبدو على هيئة حوف رملية خطية، سرعان ما تتطور في شكل كثبان طولية نتيجة للتغيرات المحلية في طبغرافية السطح بفعل تلامح الكثبان، ومن ثم يؤثر ذلك في مسارات الرياح موضعياً، بحيث يتغير نمط الرياح أحادى الإتجاه الذى كان سائداً إلى نمط آخر ثانئاً الإتجاه يتعمد فيه كل إتجاه على الآخر بدرجات مفتوحة، مما يعمل على إستطاله أحد السنة الحافات المستعرضة في إتجاه منصرف الرياح. ويزيد هذا كله من تعقيد الشكل العام للكثبان في بحر رمال الفرافرة، بحيث تعكس في النهاية كل هذه الأنواع مجتمعة من الكثبان ما يعرف بالكثبان الشبكية lattice or network dunes، وهو نمط يتميز بتعدد الصبابات نتيجة لتدخل أكثر من نوع من الكثبان، وتعمد الكثبان الطولية على بعضها البعض بزوايا كبيرة نتيجة لتعدد إتجاهات الرياح بما لا يسمح بوجود ممرات فاصلة بين الكثبان بسبب شدة كثافة الكثبان (شكل ١٣). وتتخذ الصبابات إتجاهها عاماً ناحية الجنوب والجنوب الشرقي والجنوب الغربي. ويتراوح إنحدارها بين  $30^{\circ}$  -  $34^{\circ}$ ، بينما يقل إنحدارها عند أجزاءها الدينية ليتراوح بين ٥ -  $10^{\circ}$ .

نخلص من هذا أن الكثبان المركبة والمعقدة (الأذرع) في بحر رمال الفرافرة تتنظم في نطاقات أو سلاسل رملية ضخمة تمتد من الشمال الشرقي إلى الجنوب الغربي بوجه عام لمسافات طويلة تتراوح بين ٤٠ - ١٧٣,٢٥ كم، بمتوسط عام قدره ١٠٦,٥ كم قياسياً من خلال الصور الفضائية. على أن أكثرها طولاً وإمتداداً هو ذلك النطاق الموازي مباشرة للحافة الغربية لجبل شاوشاو، حيث يمتد لمسافة ١٧٣,٢٥ كم من الشمال الغربي عند دائرة عرض  $17^{\circ} 27'$  إلى الجنوب الشرقي عند دائرة عرض  $49^{\circ} 25'$ ، حيث يصعد آخر كثيب هالى في هذا النطاق فوق سطح العتبة الصخرية الفاصلة بين منخفض الفرافرة في الشمال ومنخفض الدائمة في الجنوب. أما أقلها إمتداداً هو ذلك النطاق الغربي الذي يمتد من دائرة عرض N  $56^{\circ} 15'$  وخط طول E  $26^{\circ} 35'$  وخط طول E  $24^{\circ} 17'$  حتى دائرة عرض N  $56^{\circ} 05'$  وخط طول E  $26^{\circ} 28'$ ، لمسافة قدرها ٤٠ كم. أما عن العرض فيتبين بوجه عام من مكان لأخر وفقاً لتوفر الرمال وطبغرافية قاع المنخفض ومقدار التباعد بين نطاقات الكثبان، ويوضح جدول (٦) متوسط عرض تلك النطاقات في بحر رمال الفرافرة (من الشرق للغرب)، وذلك عند دائرة عرض  $49^{\circ} 26'$  و  $30^{\circ} 26'$  شمالاً. ونستنتج من الجدول أن متوسط عرض نطاقات الكثبان المركبة والمعقدة يتراوح بين ١,٣ - ٦,٨ كم، بمتوسط عام يصل ٢,٩٤ كم.



شكل (١٣) : تداخل الكثبان في نمط شبكي في بحر رمال الفرافرة، حيث تظهر الصورة العليا (أ) تطور الكثبان الطولية ذات القمم المترجة عن الحافات الرملية المستعرضة، كما تظهر الصورة السفلية (ب) الأسنة والأهلهة التي تميز الحافات المستعرضة مع تعدد الصبابات.

المصدر: Google Earth

جدول (٦) : متوسط إتساع نطاقات الكثبان الرملية في بحر رمال الفرافرة (من الشرق للغرب).

عند دائرة عرض $٤٩^{\circ} ٢٦' شمالي$					
العرض (كم)	النطاق	العرض (كم)	النطاق	العرض (كم)	النطاق
٢,٨	٣	٣,٢	٢	٧,٦	١
٢,٥	٦	٠,٩	٥	٢,٢	٤
٢,٤	٩	٢,٦	٨	٦,٨	٧
١,٦	١٢	٤,٦	١١	٢,٤	١٠
١,٦	١٥	٣,٨	١٤	٢	١٣
عند دائرة عرض $٠٣^{\circ} ٢٦' شمالي$					
العرض (كم)	النطاق	العرض (كم)	النطاق	العرض (كم)	النطاق
٢,٥	٣	١,٨	٢	١,٣	١
٢,٧	٦	٤,٧	٥	١,٦	٤
٣,٢	٩	١,٦	٨	١,٣	٧
				٥,٣	١٠
كم $٢,٩٤$				متوسط عام	

المصدر: قيست من موزايك الصور الفضائية لاندستات-٧.

وتتفصل نطاقات الكثبان الرئيسية فيما بينها بممرات corridors تخلو أحياناً من الرمال، إذ قد يظهر من خلالها قاع المنخفض الصخري محلياً ممثلاً في التكوينات الطباشيرية المتأثرة بفعل الرياح. أو قد يغطيها فرشة من الرمال الخشنة ( $١ - ٥$  مم) والحصى الأسود ( $٤ - ٢$  مم) متوسط الإستدارة ( $٠,٥$ ). ويتراوح مقدار التباعد بين هذه النطاقات في بحر رمال الفرافرة بين  $٠,١٨ - ١,٣$  كم، بمتوسط قدره  $٠,٦٢$  كم قيست من الصور الفضائية. وكثيراً ما تخنقى الممرات الفاصلة بين نطاقات الكثبان نتيجة لتلائم الكثبان جانبياً، ومن ثم تبدو على هيئة سطح رملٍ مموجٍ خاصة في الأجزاء الوسطى من بحر الرمال.

#### خامساً - التجمعات الرملية الثابتة :

كثبان تعطيها قشرة رملية خارجية متماسكة الحبيبات بسمك يصل نحو  $١,٥$  متراً في المتوسط، ويبدو مظهرها متاثراً بعمليات النحت والتقطيع، كما ينمو على سطحها بعض الأعشاب والشجيرات. ويعتبر هذا النوع هو الأقل إنتشاراً في بحر رمال الفرافرة، حيث يختنق تحت أنواع الكثبان الرملية النشطة.

وقد عثر على أحد تلك التجمعات الرملية المتماسكة بارزة مكشوفة فوق سطح الأرض إلى الجنوب من الطريق المؤدى إلى منطقة بئر كراوبين على بعد ١٠,٥ كيلومترات إلى الشرق من قصر الفرافرة (E ٤٥ °٢٨' ٠٢٧' N ٣٠' ٠٢٧'). ويبعد الشكل العام لهذا النوع من التجمعات الرملية في الفرافرة على هيئة سهل رملي متسع نسبيا (~ ١٨,٥ كم<sup>٣</sup>) تظهر عليه علامات التقطيع، ويرتبط التوزيع الجغرافي للكثبان المتحجرة المكشوفة بالجزء الشمالي الشرقي من منخفض الفرافرة عند دائرة عرض (N ٣٠' ٠٢٧') حيث البدايات الأولى لبحر رمال الفرافرة، ويمتد لمسافة ٧ كيلومترات تقريباً بإتجاه الجنوب الشرقي، قبل أن ينتهي تدريجياً دون وجود حافة واضحة المعالم جنوباً فوق قاع المنخفض مباشرة، ويتوالى إرتفاع هذا النوع من التجمعات الرملية المتماسكة بين ٧ - ١٠ أمتار محلياً فوق مستوى سطح الأرض المجاورة، ونحو ٨٣ متراً في المتوسط فوق منسوب سطح البحر سجلت من خلال متosteats قراءات أجهزة لا GPS. وقد تم حفر قطاع رأسى فى رواسب هذه التجمعات المتماسكة بعمق واحد متر تقريباً من أعلى السطح، وتم توصيف رواسبه وفقاً للحجم بواسطة Grain Size Chart واللون باستعمال Munsell Colours System وتقسيمها إلى وحدات laminas ثانية مختلفة من أعلى لأسفل كما يوضحها جدول (٧).

ويتبين من الجدول تبادل طبقات الرمال المتماسكة وعروق الجبس الأبيض على أعماق مختلفة، مما يشير إلى كون عملية التماسك قد تمت وفق دورات متباينة من الرطوبة والجفاف الشديد. كما يشير كذلك تواجد الحصى الصغير إلى تتابع مستويات القص الريحى مع إختلاف فترات النحت والتربيب على جسم الكثيب ، فتركز الحصى عند عمق معين يشير إلى سطح تذرية قديم. أما اختلاف الخصائص الشكلية لحببات الرمال فهو نتاج طبيعى لحركتها تحت تأثير الرياح، فالرمال الكروية قد تدرجت لمسافات طويلة تكفى لإستداراتها عكس حبات الرمال الزاوية، والتى من المرجح أنها قد جلبت من مسافات قريبة ومن ثم لم تستغرق الوقت الكافى لإستداراتها، أو أنها قد تعرضت لتكسير حواها بفعل إرتطامها بحببات الرمال الأخرى. أخيراً يشير تركز الرمال الناعمة والمتوسطة المفككة فى الطبقات السفلية إلى أن عملية التماسك تمت من الخارج نحو الداخل ، بمعنى أنها نتاج الرطوبة الجوية (المطر) وليس الرطوبة الأرضية.

وبالمثل فقد تم رصد بقايا بعض من الكثبان الطولية الثابتة في المنطقة الواقعة إلى الجنوب مباشرة من الصحراء البيضاء (E ٤٥ °٢٩' ٠٢٨' و N ٣٠' ٠٧' ٥٢') على إرتفاع ١١٨ متراً فوق منسوب سطح البحر. وتحدد بقايا هذه الكثبان الطولية القديمة محاور الكثبان الحديثة التي تتماشى مع إتجاه الرياح بإنحراف قدره ٦° عن الشمال. ويميل لون الكثيب الثابت إلى اللون الداكن، حيث يسوده الرمال الخشنة (٠,٥ - ١مم)، والتي تشكل قشرة سطحية متماسكة يصل متوسط سمكها ١٠ سم. ويقع أسفل منها مباشرة طبقة من الرمال المفككة الناعمة (<٠,٥مم). وتشير نتائج العمل الميداني مع تحليل صور الفضاء من نوع ASAR أسار إلى أن هذا النوع من الكثبان المتماسكة يختلف منه مساحات واسعة أسفل الأشكال الرملية النشطة حالياً، وهي نقطة بحثية تحتاج إلى دراسة تصصيلية وحفر المزيد من القطعات الرئيسية في رواسب الكثبان القديمة والحديثة.

## جدول (٧) : قطاع رئيسي في أحد التجمعات الرملية المتماسكة شمال شرق بحر رمال الفرافرة.

التصنيف	السمك	م
السطح: قشرة شديدة الصلابة من الرمال الخشنة (٠,٥ - ١ مم) صفراء اللون شبه كروية (٠,٩ - ٠,٧).	١	١
رمال مفككة خشنة (~ ١ مم) صفراء اللون.	٢	٢
طبقات متباينة من الرمال الخشنة (~ ١ مم) صفراء اللون، والحصى (< ٢ مم) الأسود.	١٥	٣
رمال خشنة جدا (١ - ٢ مم) ينخللها حصى (> ٢ مم) متماسك شبه كروي (٠,٧ - ٠,٩) تختلف لوانه بين الأبيض والأصفر المائل للحمرة والأسود في بعض الأحيان.	٦	٤
رمال خشنة (~ ١ مم) صفراء اللون يسودها الشكل الكروي (٠,٩)، ونسبة محددة من الرمال قليلة إلى متوسطة الكروية (٠,٣ - ٠,٥)، ينخللها طبقة من الحصى رمادي اللون.	١٢	٥
جيـس.	١,٥	٦
رمال خشنة جدا (١ - ٢ مم) ينخللها حصى (< ٢ مم) متماسك شبه كروي (٠,٧ - ٠,٩) تختلف لوانه بين الأبيض والأصفر المائل للحمرة والأسود.	٢	٧
جيـس.	١٠	٨
رمال خشنة جدا (١ - ٢ مم) ينخللها حصى متماسك كروي يتراوح لونه بين الأحمر والأسود.	١٣	٩
رمال مفككة متوسطة الحجم (٠,٥ - ٠,٥ مم)، يتدرج لونها بين اللونين الأبيض والأحمر، مع قليل من الحبيبات ذات اللون الأسود.	١	١٠
رمال خشنة جدا (١ - ٢ مم) ينخللها حصى متماسك كروي يتراوح لونه بين الأحمر والأسود.	٧	١١
قشرة متصلبة من الرمال الخشنة.	١,٥	١٢
رمال مفككة ناعمة إلى متوسطة الحجم (< ٠,٥ مم)، ينخللها حبيبات من الحصى الأسود المائل للحمرة.	٥	١٣
رمال مفككة متوسطة الحجم يميل لونها للون الأصفر.	٢	١٤
رمال مفككة ناعمة إلى متوسطة الحجم (> ٠,٥ مم)، ينخللها نسب قليلة من الحصى الأسود.	٦	١٥
طبقات رقيقة من الرمال المتماسكة.	٢	١٦
رمال مفككة ناعمة إلى متوسطة الحجم ، لونها شفاف إلى أصفر مائل للحمرة، مع القليل من حبات الرمال السوداء.	١٠	١٧

المصدر: الدراسة الميدانية، إحصائيات الموقع E ٤٥، N ٢٧، ٣٠، ٢٨، ٤٠ و ٢٧.

**سادساً - المناقشة والخاتمة :****١) بحر رمال أم حقل كثبان ؟**

يعطى مصطلح بحر الرمال Sand Sea إنطباعاً عاماً عن وجود غطاء رملي متسع يخفي أسفله مساحة شاسعة من سطح الأرض، كما تتنوع بداخله الأشكال الرملية. وبعد (Wilson 1973) أول من أقترح إطلاق لفظ erg على الأراضي التي تغطي الرمال نحو ٢٠٪ منها فأكثر، وهو يشير في لغةبدو صحراء شمال أفريقيا إلى الأراضي التي تغطيها الرمال بوجه عام بكميات وفيرة، بحيث تسمح بتكوين الdray أو الكثبان الضخمة (Goudi, 2013) mega-dunes (Pye & Tsoar, 2009)، على أن تغطي الرمال مساحة قدرها ١٢٥ كم<sup>٢</sup> على الأقل (Fryberger & Ahlbrandt 1979; Thomas, 1989). أما لو صغرت المساحة لأقل من ذلك تعرف بحقل من الكثبان، أو الفرشات الرملية في حالة عدم وجود تجمعات مميزة من الكثبان (Pye & Tsoar 2009). ويعتمد Embabi (2004) في تحديده لبحار الرمال في مصر على المساحة ونسبة ما تغطيه الكثبان الرملية من تلك المساحة، حيث يحدد مساحة ٥٠٠٠ كم<sup>٢</sup> كحد أدنى لإطلاق لفظ بحر رمال عليها، شريطة أن تغطي الكثبان الرملية ما لا يقل عن ٥٥٪ من تلك المساحة. ووفقاً لذلك يميز (Embabi, et al., 1998, 2000, 2004, 2012) في مصر ستة بحار رملية رئيسية هي على الترتيب: ١. بحر الرمال العظيم، ٢. سهل سليمية، ٣. غرد أبو المحاريق، ٤. بحر رمال جنوب منخفض القatar، ٥. بحر رمال الفرافرة، ٦. بحر رمال شمال سيناء.

وتغطي الأشكال الرملية في بحر رمال الفرافرة مساحة قدرها حوالي ١١,٢٨٢ كم<sup>٢</sup> داخل منخفض الفرافرة وحده (قيست من موزاييك صور لاندستات-٧)، أي ما يمثل ٦١,٥٪ من إجمالي مساحة منخفض الفرافرة. وتتعدد الأشكال الرملية بين فرشات رملية، وكثبان رملية بسيطة، وأشكال رملية أخرى أكثر تعقيداً على نحو ما تبين سلفاً. وتتنظم الكثبان الرملية بوجه عام في مجموعة من النطاقات الطولية، والتي تتفصل فيما بينها بممرات تغطيها فرشات رملية متباينة السمك، وأحياناً يظهر من خلالها قاع المنخفض الأصلي. وقد قام الباحث بحساب مساحات أراضي ما بين النطاقات الرئيسية للكثبان والتي تكاد تخلو من الإرسابات الرملية من خلال موزاييك صور لاندستات-٧ مع الاستعانة بصور Google Earth عالية الوضوح، وقدرت مساحتها بنحو ٦٥٠ كم<sup>٢</sup>. بذلك فإن التكوينات الرملية تشغل وحدتها ١٠,٦٣٢ كم<sup>٢</sup> بنسبة ٩٤,٢٪ من إجمالي مساحة بحر رمال الفرافرة. وبتطبيق المعايير التي حددها كل من (Wilson 1973) و (Embabi 2004) فإن الباحث يتفق تماماً مع إمبابي في إطلاق أسم "بحر رمال الفرافرة" على هذا التجمع الكبير من الأشكال الرملية في منطقة الدراسة.

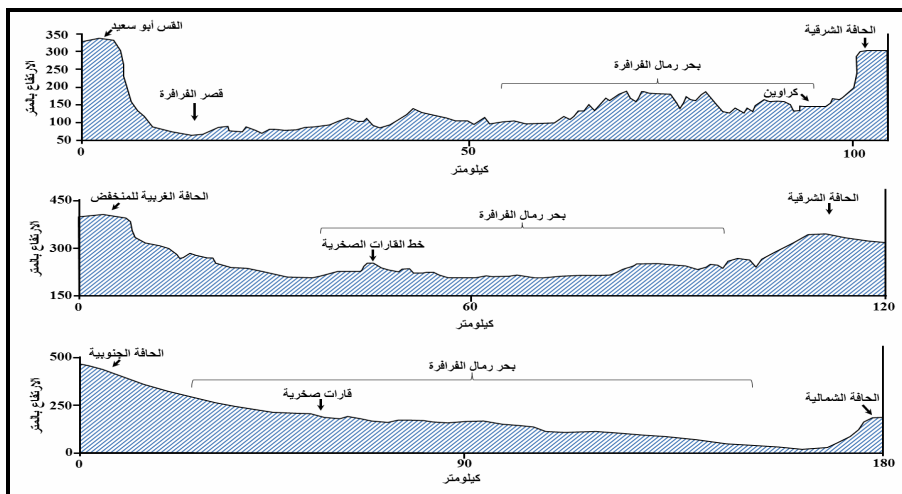
## ٢) العوامل التي ساهمت في نشأة بحر رمال الفرافرة :

### ١-٢ مورفولوجية المنخفض:

يمتد منخفض الفرافرة من الشمال الغربي إلى الجنوب الشرقي، بإنحراف عام من الغرب للشرق بداية من دائرة عرض E °١٢ °٥٦ N °٢٩ °٠٤ °٢٠ . وبوضوح تحليل الخريطة الكنتورية ونمذج الإرتفاعات الرقمي أن للمنخفض حافات واضحة المعالم من جهة الشرق والشمال والغرب (شكل ١٤). وتتخذ الحافة الشرقية للمنخفض إتجاه عام شمالي غربى - جنوبى شرقى، ويقل إرتفاعها تدريجياً من الجنوب (٣٢٩ م) إلى الشمال (٢٨٩ م) فوق منسوب سطح البحر. كما ترتفع محلياً فوق قاع المنخفض بما يتراوح بين ١٠٥ مترًا في الجنوب، و١٦٤ مترًا في الشمال عند بئر كراوين. ويرجع هذا التباين في إرتفاع الحافة فوق قاع المنخفض إلى قرب الكثبان الرملية من الحافة. كما تمتد الحافة الشمالية من الشرق للغرب بوجه عام تحت تأثير أحد خطوط البنية الرئيسية. ويصل أقصى إرتفاع لها إلى الشمال من وادي الأبيض ٣٠٠ م فوق مستوى سطح البحر، ويقل الإرتفاع تدريجياً ناحية الشرق. كما أنها ترتفع محلياً نحو ١٧٥ مترًا شمال منخفض الفرافرة مباشرة. أما الحافة الغربية فهي أكثر حافات المنخفض تأثراً بعوامل التعرية، ومن ثم تبدو على هيئة مجموعة من الحافات غير المتصلة تقطعها مجموعة من الأودية المنحدرة إلى قاع المنخفض. وتتخذ إتجاهها عاماً من أقصى الجنوب إلى الشمال الغربي، غير أنها فعلياً تتصل بالأطراف الجنوبية للمنخفض (حافة جبل شاوشاو) في شكل قوس هائل يرتبط بأحد خطوط البنية، مع ظهور فجائي لمجموعة متجاورة من القور الصخرية (قور الرزاق). والحافة الغربية مع شدة تقطيعها إلا أنها أكثر حواف المنخفض إرتفاعاً حيث يتراوح إرتفاعها بين ٤١١ م فوق منسوب سطح البحر جنوباً و٢٧٢ متر في الشمال، وترتفع محلياً لما يتراوح بين ١٢١ م و ٥٨ م من الجنوب إلى الشمال على الترتيب.

أما في الجنوب فلعل حافة جبل شاوشاو هي الأكثر بروزاً حيث ترتفع نحو ٤٠١ م فوق مستوى سطح البحر. ثم ترتفع الأرض تدريجياً بعد ذلك لمنسوب ٥٠٥ م فوق مستوى سطح البحر، مع بروز بعض القمم المفردة التي يصل إرتفاع بعضها إلى ٥٦٠ م فوق منسوب سطح البحر.

نخلص من ذلك أن منخفض الفرافرة في الواقع عبارة عن حوض مغلق من جميع الجهات تقريباً، ومن ثم بعد بذلك بيئة مناسبة لإصطدام الرواسب الهوائية. وتلتزم الإرسابات الهوائية الجانب الشرقي من المنخفض تحت تأثير كل من الرياح الشمالية الغربية المؤثرة، علاوة على أنها تحتل أخفض أجزاء المنخفض في الجانب الشرقي بالقرب من أقدام الحافة الشرقية.



شكل (١٤) : القطاعات التضاريسية لمنخفض الفرافرة.

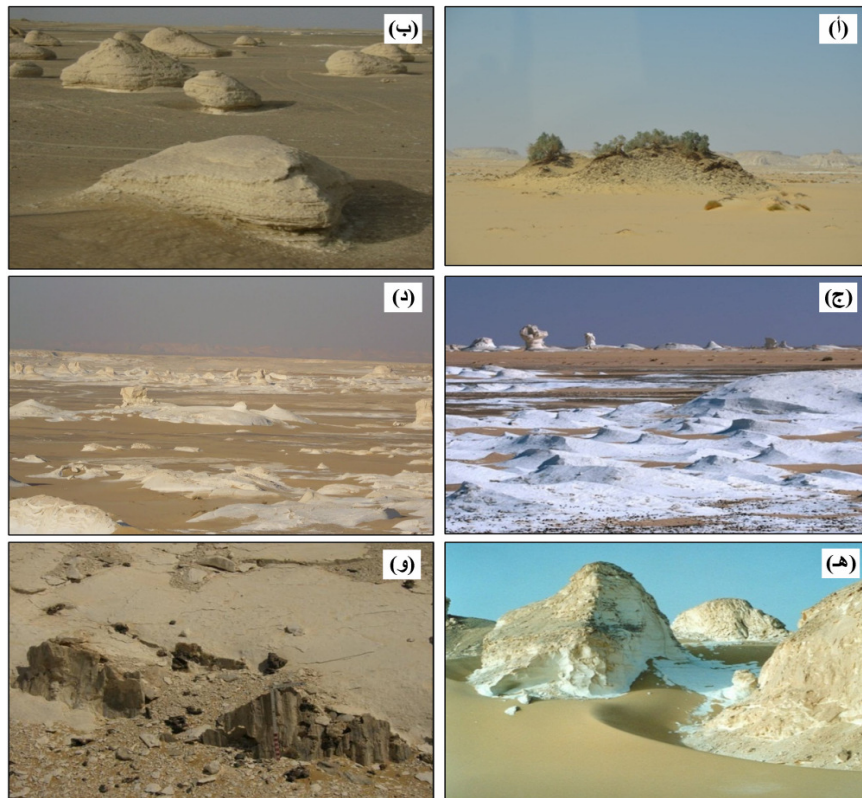
المصدر: رسمت من الخريطة الطبوغرافية ١:١٠٠,٠٠٠، موقع القطاعات موضحة بالشكل (١).

## ٢-٢ خشونة قاع المنخفض :

يتميز قاع منخفض الفرافرة بالانحدارات الخفيفة بوجه عام، حيث يصل معدل إنحداره العام إلى ١م / ٢١٠٠ م ، ومع ذلك تقطع رتابة هذا الإنبساط مجموعة من التباينات الرئيسية التي تؤدي إلى تعديل مسارات تدفق الهواء سواء بالتقابض أو التباعد، كما ينشأ عنها حركة حلزونية eddy motion للهواء حول العقبات. ويمكن أن نصنف خشونة السطح في قاع منخفض الفرافرة وفق تلك التباينات الرئيسية على النحو التالي (شكل ١٥) :

- **سطوح دقيقة الخشونة** : تتراوح خشونة السطح في هذه الفئة لأقل من ١ سم وحتى ١ م، حيث تمثلها الحوز والخدوش الناتجة عن نحت الرياح في صخور الحجر الجيري والطبشيري، والسطح الحصوية وعرق الكالسيت والجبس البارزة من قاع المنخفض، والتجمعات النباتية التي تتشكل خلفها بعض النبات والتموجات الرملية.
- **سطوح متوسطة الخشونة** : وتتراوح فيها خشونة السطح بين ١ - ٥ م، وتضم تلال الينابيع وبقايا البلايا الطينية والكدوت الصخرية وبقايا الأعمدة الكارستية المتأكلة مثل الصحراء البيضاء.
- **سطوح عالية الخشونة (> ٥ م)** : وتضم القور الصخرية والتلال المتبقية عن تراجع حواف المنخفض والتي تؤدي إلى ظهور كثبان العقبات الطبوغرافية.

وبحسب دراسة كل (Bagnold 1941) & Belly (1964) فإن ٣٠ سم من خشونة السطح تكفي لتكوين الكثبان الرملية، حيث تؤدي هذه التباينات المحلية الدقيقة إلى تقليل سرعة الفص الريحي، وظهور أنماط مختلفة من تدفق وإنسياب الرياح المحمولة بالرمال، يصاحبها تعدد وتنوع للأشكال الرملية.



شكل (١٥) : المظاهر التضاريسية السائدة في قاع منخفض الفرافرة: (أ) تلال الينابيع القديمة، (ب) بقايا سهول البلايا، (ج- د- ه) بقايا السطوح التحتائية الناتجة عن تأكل صخور الطباشير بفعل الرياح، (و) عروق الكالسيت.

### ٢-٣ التغيرات المناخية وتقدير عمر الرواسب الرملية :

أوضحت الدراسة الحالية أن الكثبان الرملية في بحر رمال الفرافرة تتكون من وحدتين أساسيتين، الوحدة العليا وتمثلها الكثبان الحديثة أو النشطة، والوحدة السفلية وتمثلها ظهور الحيتان أو الأذرع البلاستوسينية. ويحتاج تكوين هذه الأذرع إلى ظروف شديدة الجفاف يصاحبها رياح قوية، وهو ما دعى (Besler 2008) إلى القول بأن ظهور الحيتان في بحر الرمال العظيم وصحراء نامibia

تمثل تجمعات رملية موروثة عن فترات الجليد البلاستوسيني ، نتجت عن الرياح الشديدة بفعل التفاوت الكبير في درجات الحرارة والضغط الجوي إبان الفترات الجليدية. وتشير (2000) Besler إلى أن الأذرع الطولية في بحر الرمال العظيم قد تكونت في الفترة من ٢٣ - ٢٠ ألف سنة قبل الآن، أى في عضون أوج الفترة الجليدية الأخيرة LGM، وهي فترة سادت فيها ظروف الجفاف الشديدة في شرق الصحراء الكبرى (Kuper & Kröpelin, 2006). بينما تكونت الأذرع العرضية في الفترة من ١٢-٢٠ ألف سنة قبل الآن (Besler, 2000).

وتشير نتائج التاريخ بواسطة Optically-Stimulated Luminescence حسب دراسة Bubenzer & Besler (2005) إلى أن الأذرع الرملية في بحر رمال الفرافرة قد ظهرت في الفترة من ٣٥ - ٢٨ ألف سنة قبل الآن، وأن رواسبها قد تعرضت للتعرية وإعادة الترسيب مرة أخرى reworked منذ ١٣ ألف سنة مضت، أى مع نهاية فترة فيرم الجليدية تقريباً. كما تشير دراسة Donner et al. (1999) إلى أن الياردانج الواقعة جنوباً من قصر الفرافرة قد بدأت في التشكيل منذ ١٠ ألف سنة قبل الآن تحت تأثير الرياح الغربية الباردة، وذلك من خلال الأدوات الأشولية التي عثر عليها فوق سطوح التذرية بين الياردانج. كما تشير الدراسة ذاتها إلى أن تاريخ قشر بيض النعام يرجع للفترة بين ٩,٠٠٠ - ٦,٠٠٠ سنة مضت (Donner et al., 1999)، أى قبل تحول الصحراء الغربية إلى ظروف الجفاف الحالى منذ حوالي ٥,٣٠٠ سنة قبل الآن (Kuper & Kröpelin, 2006; Riemer, 2009). وبتفق هذا أيضاً مع ما توصل إليه Brooks (2003) من زيادة نشاط الرياح الغربية في نفس الفترة (٩,٠٠٠ - ٦,٠٠٠ سنة قبل الآن) في الصحراء الغربية، من خلال دراسته للأشكال التحتائية القديمة في بحر الرمال العظيم، وتحليل رواسب بعض الياردانج في منخفض الفرافرة بواسطة كريون - ١٤.

## ٤- ظروف الجفاف المعاصرة :

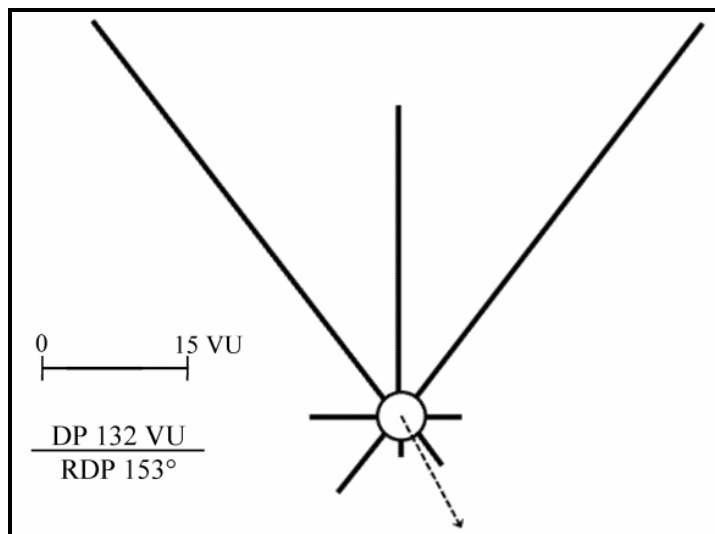
ذكرنا سلفاً أن منخفض الفرافرة يقع ضمن الأقاليم شديدة الجفاف، حيث تنخفض جداً كمية الأمطار وبشكل ملحوظ عن كمية التبخر - نتح لأقل من حدود الإقليم شديد الجفاف (P/PET < 0.05)، وهي ظروف مثالية لنشاط الرياح الجافة. وتسود المنخفض الرياح الشمالية بوجه عام، على أن الغلبة للرياح الشمالية الغربية (٦٩٪؎) في معظم شهور السنة، بينما تسود الرياح الشمالية والشمالية الشرقية في شهور إبريل ومايو ويونيه فقط. وينعكس هذا بوضوح على محصلة الرياح السنوية والتي تأتي من شمال الشمال الغربي (٣٥٥°) بإتجاه جنوب الجنوب الشرقي (١٧٦°). ولهذا دور واضح في توجيه محاور الكثبان الرملية من الشمال الغربي إلى الجنوب الشرقي، وكذلك في معدلات الحركة الشهرية المحمولة للرمال drift potential vector (DP) بالنسبة لوحدة الإتجاه

(جدول ٨). حيث تتراوح معدلات الحركة المحتملة بين  $VU = 83,5$  في شهر يناير و  $VU = 170$  في شهر يونيو، بمتوسط سنوي  $132 VU$ . كما تتراوح محصلة إتجاه الحركة المحتملة للرمال شهرياً بين  $133 - 153^{\circ}$ ، أي تتراوح بين الجنوب الشرقي والجنوب الغربي. وتصل المحصلة السنوية للحركة المحتملة للرمال إلى  $153^{\circ}$  باتجاه الجنوب الشرقي لتقارب بذلك مع إتجاه الرياح السائدة والإتجاه العام للمنخفض (شكل ١٦). أما مؤشر التغير الشهري لإتجاه حركة الرمال (IDV) index of direction variability فيتميز بقاربه النسبي حيث يتراوح بين  $0,98 - 1,67$  بمتوسط سنوي  $1,16$ ، ورغم ذلك التقارب إلا أنه المسؤول عن تغير إتجاه الواجهة الحرة لقمة الكثبان الطولية بين الغرب والشرق طوال شهور السنة.

**جدول (٨) :** محصلة إتجاه الرياح وحركة الرمال المحتملة في محطة الفرافرة  
في الفترة من ١٩٧٥-٢٠٠٠.

IDV	DP	RDP	WR	الشهر
١,٦٨	٨٣,٥	$140^{\circ}$	$141^{\circ}$	يناير
١,٢٥	١٠٦,٤	$133^{\circ}$	$154^{\circ}$	فبراير
١,٠٩	١٣٦,١٥	$149^{\circ}$	$168^{\circ}$	مارس
١,٤٩	١٥١,٣٨	$225^{\circ}$	$189^{\circ}$	ابريل
١,٣٥	١٦٠,٨٩	$218^{\circ}$	$191^{\circ}$	مايو
١,٢٥	١٧٠,١٣	$212^{\circ}$	$185^{\circ}$	يونيه
٠,٩٨	١٥٦,٢	$154^{\circ}$	$170^{\circ}$	يوليه
٠,٩٩	١٤٥	$144^{\circ}$	$176^{\circ}$	اگسطس
٠,٩٨	١٥٦,٩	$155^{\circ}$	$169^{\circ}$	سبتمبر
١,١٩	١٢٢,٨	$146^{\circ}$	$178^{\circ}$	اكتوبر
١,٢٨	١١٥	$147^{\circ}$	$178^{\circ}$	نوفمبر
١,٧٦	٧٧,٢	$136^{\circ}$	$178^{\circ}$	ديسمبر
١,١٦	١٣٢	$153^{\circ}$	$176^{\circ}$	<b>المتوسط السنوى</b>

\* الجدول من حساب الباحث من واقع المعدلات المناخية لمحطة الفرافرة في الفترة ١٩٩٩-١٩٧٥. حيث أن: WR محصلة الرياح بإتجاه المنصرف، DPR محصلة إتجاه زحف الرمال المحتمل بالدرجات، DP معلم زحف الرمال المحتمل بالنسبة لوحدة الإتجاه (VU) vector unit (VU)، IDV مؤشر التغير في إتجاه الرياح. (من حساب الباحث من بيانات المعدلات المناخية لمحطة الفرافرة للفترة ١٩٧٥-٢٠٠٠).



شكل (١٦) : وردة الرمال والمحصلة السنوية لحركة الرمال المحتملة لمحطة الفرافرة.  
من حساب الباحث).

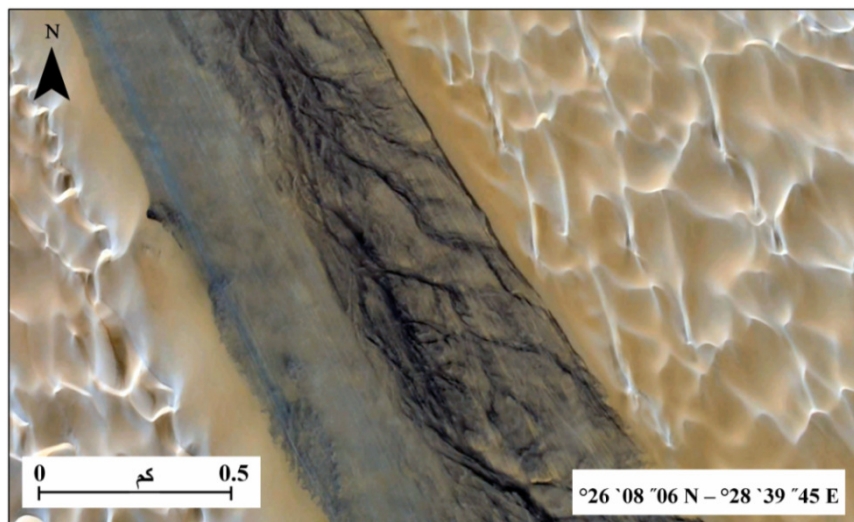
#### ٤-٢ توافر مصادر الرمال :

يتوقف توافر الرمال على نوع وخصائص التكتونيات الصخرية الغنية بها بوجه عام مثل الحجر الرملي، فضلاً على نشاط فعل عوامل التحات المختلفة التي تعمل على تفكك هذه الرمال ونقلها من مصادرها وترسيبها في عدة أشكال رملية مختلفة. ويمكن من خلال بعض الدلائل التي تم رصدها في الميدان، وكذلك من خلال تحليل الصور الفضائية والخرائط أن نستنتج أهم مصادر الرمال في منخفض الفرافرة على النحو التالي:

- مصدر محلي: يمثل منخفض الفرافرة بمورفولوجيته أحد أحواض التصريف الداخلية المغلقة، حيث تحدُّر إليه مجاري الأودية القيمة من جميع الإتجاهات دونما إثناء تقريباً، حاملة معها الرواسب المحلية التي اشقتها من صخور الهضاب المجاورة وحافات المنخفض، ويؤكد ذلك وجود مساحات مختلفة من سهول البلايا الطينية وتلال البنابيع والعيون المتمرکزة في الجزء الشمالي من المنخفض في عدة نقاط متفرقة. وقد لعبت سيادة ظروف الجفاف الحالي دوراً هاماً في إعادة تقطيع رواسب الأودية القيمة بفعل الرياح التي قامت بإنشاء أحجام الرمال وإعادة ترسيبها على هيئة كثبان رملية داخل الحوض. وتبدو مجاري الأودية المائية القديمة واضحة المعالم على كل حواف المنخفض الشمالية والشرقية والغربية، حيث تراكم رواسب الأودية عند أقدام منحدراتها، فضلاً عن مجاري الأودية المضفرة وأوضحة المعالم. أما في الجزء

الجنوبى من المنخفض فلما زالت بقايا الأودية القديمة التى كانت تقطع المنخفض من الجنوب إلى الشمال واضحة بين نطاقات الكثبان الرئيسية كما تظهرها الصور الفضائية عالية الدقة (شكل ١٧).

مصدر خارجى: يحظى منخفض الفرافرة كذلك بقدر لا يأس به من الرمال القادمة إليه من مناطق تقع خارج حدود المنخفض، وتحديداً من جهة الشمال والشمال الشرقي. فالأودية المنحدرة على حافة المنخفض الشمالية والشمالية الشرقية على وجه التحديد تمثلأ بطونها بالرمال الهابطة من سطح الهضاب المجاورة لترسب داخل المنخفض في شكل مجموعة من الكثبان الهابطة، والتي سرعان ما تتطور لأنواع أخرى من الكثبان الرملية داخل المنخفض (شكل ١٨).

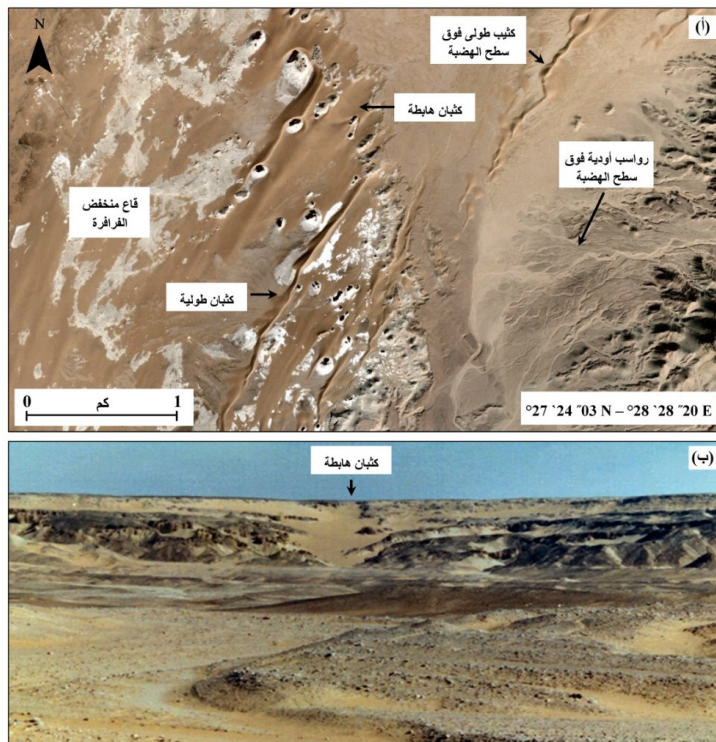


شكل (١٧) : بقايا مجاري الأودية القديمة في الممرات الفاصلة بين نطاقات الكثبان.

.المصدر: Google Earth

### ٣) خصائص الرمال :

تعتمد دراسة خصائص الرمال على التحليل الميكانيكي والمعدنى والتصوير الإلكتروني لعدد ست عينات من الرمال تتراوح أحجامها بين ٢٠٠ - ٢٥٠ جم، وموقعها موضحة في شكل رقم (١). وقد رووى أن تكون هذه العينات ممثلة لكل من قمم الكثبان الرملية وأراضي ما بين الكثبان كما يتضح في جدول (٩).



شكل (١٨) : مصادر الرمال الخارجية في بحر رمال الفرافرة. (أ) الكثبان الهاابطة من الحافة الشمالية الشرقية، (ب) الرمال الهاابطة عبر أحد مجاري الأودية التي تقطع الحافة الشمالية لمنخفض الفرافرة.

المصدر: Google Earth

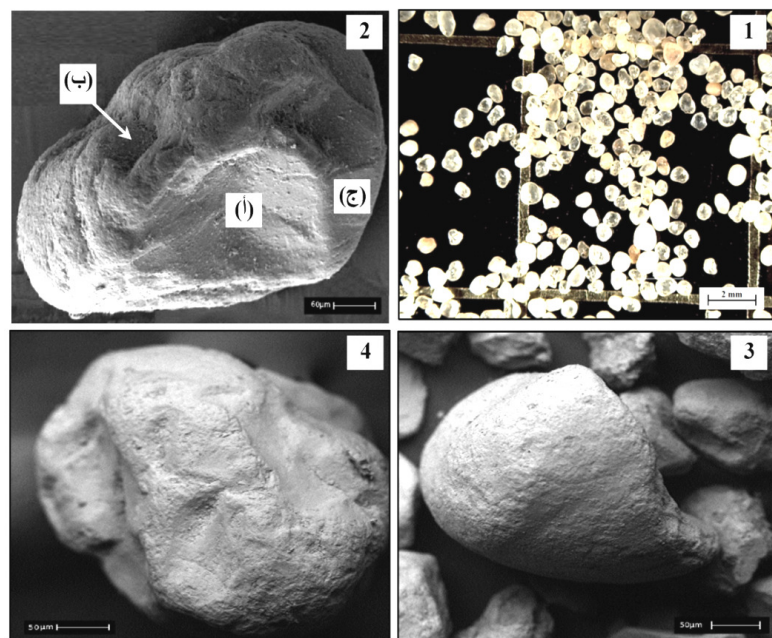
#### جدول (٩) : التحليل الحجمي لعينات الكثبان الرملية في بحر رمال الفرافرة

حسب تصنيف (Folk & Ward 1957)

مج %	ناعمة جدا		رمال ناعمة		رمال متوسطة		رمال خشنة		العينة *
	Φ ٥	Φ ٤	Φ ٣	Φ ٢	Φ ١	Φ ٠	Φ ٠,٥-	Φ ١-	
١٠٠	-	١٢,٤	٣١,٤	٤٠,٥	١٥,٣	٠,٤	-	-	١
١٠٠	-	١١,٥	٣١,٩	٤٠,١	١٦,١	٠,٤	-	-	٢
١٠٠	٠,٩	٣,٤	٣,٦	٢٥	٢٦,٢	١٨,٤	١٣,٥	٩	٣
١٠٠	٠,٨	٣	٤	٢٥	٢٦,٥	١٨,٤	١٣,٢	٩,١	٤
١٠٠	٠,٢	٣,٦	٤٢,٧	٥٠,٧	٢,٨	-	-	-	٥
١٠٠	٠,٥	٤,٢	٤١,١	٥١,٢	٣	-	-	-	٦

\* (١، ٢) قم الكثبان الهلالية، (٣، ٤) أراضي ما بين الكثبان، (٥، ٦) قم الكثبان المعقدة.

ونستنتج من هذا الجدول أن نسبة الرمال السائدة في منطقة الدراسة هي الرمال المتوسطة والناعمة (٢ - ٣  $\Phi$ )، ويتراوح معامل إلتواءها بين ٢ - ٢,١٥، وهي بذلك تتفق مع معامل الكثبان الرملية الرئيسية في العالم حسب دراسة (Besler 2002) والذي يتراوح بين ٢ - ٣  $\Phi$ . أما عن شكل الحبيبات فيتراوح بين المستدير وشبه المستدير بالنسبة لعينات الرمال بوجه عام، وتمثل النسبة الغالبة ٧٤,٣%， يليها الحبيبات شبه الحادة بنسبة ١٤,٨% وتمثل النسبة المتبقية (١٠,٩%) الرواسب الحادة والحادية جداً (شكل ١٩). أما عن المحتوى المعدي فيمثل الكوارتز النسبة الغالبة (٩٧,٥%) ونسبة قليلة جداً من الفلسبار والمعادن الكلسية والطينية (٢,٤%). أما المعادن التقيلة فتمثل المعادن غير المعتمة non-opaque النسبة الغالبة (٥٢,٥%) وتضم مجموعة معادن مثل ، zircon tourmaline, rutile, epidotes, pyroxene (Embabi 2000)، بينما تمثل المعادن المعتمة opaque حوالي (٤٧,٥%).



**شكل (١٩) :** التصوير المجهري لبعض حبيبات عينات الرمال من بحر رمال الفرافرة : (١) سبادة الحبيبات المستديرة وشبه المستديرة، (٢) حبة رمال شبه مستديرة عليها حفرة حديثة ناتجة عن عمليات السحج (أ) ذات حافة حادة، وحفرة على شكل حرف V (ب)، وحزوز طولية (ج)، (٣) حبة رمال مستديرة تعرضت للكسر بفعل التصادم، (٤) منخفضات طولية ناتجة عن عمليات الاذابة على طول خطوط المكسر.

#### ٤) الخاتمة :

قدمت الدراسة تحليلًا لخصائص الأشكال الرملية في بحر رمال الفرافرة لمعرفة سماتها الجيومورفولوجية العامة، وإلقاء الضوء على العوامل التي ساعدت على تكوينها، فضلاً عن إستنتاج المصادر الرئيسية للرمال. وقد صنفت الدراسة الكثبان الرملية في بحر رمال الفرافرة وفقاً للظروف البيئية السائدة إلى كثبان نشطة حديثة، وأخرى ثابتة متتماسكة الحبيبات. أما من حيث التصنيف المورفولوجي والتوزيع الجغرافي فهناك ثمة ترتيب (هياركى) في طبيعة الأشكال الرملية في المنخفض. وتعد الغطاءات الرملية هي أكثر الأشكال الرملية شيوعاً في المنخفض، في المقابل يندر إنتشار النباك. أما عن الكثبان الرملية فتسود الكثبان الهلالية البسيطة على الهوامش الشمالية والشرقية والعربية لبحر الرمال، حتى الهوامش الجنوبية حيث تنتهي نطاقات الكثبان الرئيسية بمجموعة من الكثبان المفردة أو المزدوجة. كما ميزت الدراسة بين عدة أنماط من الكثبان الطولية هي: الكثبان الطولية المتوازية والكثبان الطولية متعرجة القمم والكثبان المتشعبية على شكل حرف Y اللاتيني. أما كثبان العوائق الطبوغرافية فهي قليلة الإنتشار في بحر رمال الفرافرة ، إذ تظهر موضعياً بفعل المظاهر التضاريسية بالقرب من هوامش المنخفض بوجه عام.

أخيراً تعد الكثبان المركبة والمعقدة (الذراع) هي الشكل الرملي الأكثر إنتشاراً في بحر رمال الفرافرة، حيث تنتظم الأشكال الرملية في مجموعة من النطاقات أو الأذرع الطولية إلى الجنوب مباشرةً من دائرة عرض  $^{\circ} ٣٠ - ٢٧$ . وتكون هذه النطاقات من وحدتين رئيسيتين هما: الوحدة السفلية وتمثلها ظهور الحيتان، ثم الوحدة العليا من الكثبان الحديثة والتي يمكن تسميتها بالذراع الهولوسينية. وتتصف الكثبان المركبة والمعقدة في بحر رمال الفرافرة بتنوع الصبابات شديدة الإنحدار، نتيجةً لتدخل أكثر من نوع من أنواع الكثبان، مع تعامد الكثبان الطولية على بعضها البعض بزوايا مختلفة.

وقدمت الدراسة مناقشة لأهم العوامل التي ساهمت في نشأة بحر رمال الفرافرة ممثلة في مورفولوجية المنخفض، وخسوننة السطح، والتغيرات المناخية في البلاستوسين، وظروف الجفاف المعاصرة، وتوافر مصادر الرمال. ومن خلال تلك المناقشة تبين أن ظهور الحيتان في بحر رمال الفرافرة ليست حديثة النشأة، ولكنها تمثل أحد الأشكال الرملية الناتجة عن فعل الرياح الشديدة أبان الفترات الجليدية منذ  $٣٥ - ٢٨$  ألف سنة مضت، ثم تعاقبت عليها دورات من الرطوبة والجفاف منذ نهاية البلاستوسين وحتى وسط الهولوسين. كما ترجح الدراسة أن المصدر الرئيسي للرمال في منخفض الفرافرة يتمثل في رواسب مجاري الأودية المحلية القيمة التي تحدُّر من حواف المنخفض، علاوةً على قدر من الرمال التي تصل بحر رمال الفرافرة من مصادر أخرى تقع خارج حدود منخفض الفرافرة، خاصةً من جهة الشمال والشمال الشرقي.

## المراجع

### أولاً : المراجع العربية

١. أحمد عبد السلام على، ١٩٩٩، جيومورفولوجية الكثبان الرملية في شمال شرق منخفض البحري، الصحراء الغربية - مصر، المجلة الجغرافية العربية (الجمعية الجغرافية المصرية)، العدد ٣٤، القاهرة، ص ص ٣٢٣-٣٦٦.
٢. صابر أمين دسوقي، ١٩٨٨، التحليل المورفومترى للكثبان الرملية الهلالية في الجزء الأندي من حوض وادى المساجد شمالى سيناء، المجلة الجغرافية العربية (الجمعية الجغرافية المصرية)، العدد ٢٠، القاهرة، ص ص ١٣٧-١٦٠.
٣. نبيل سيد إمبابى ومحمد محمد عاشور، ١٩٨٣، الكثبان الرملية في شبه جزيرة قطر، الجزء الأول، مركز الوثائق والبحوث الإنسانية، جامعة قطر، الدوحة، ٢٤٦ ص.
٤. نبيل سيد إمبابى ومحمد محمد عاشور، ١٩٨٥، الكثبان الرملية في شبه جزيرة قطر، الجزء الثاني، مركز الوثائق والبحوث الإنسانية، جامعة قطر، الدوحة، ٢٣٧ ص.

### ثانياً : المراجع الأجنبية

1. Bagnold, R. A., 1931. Journeys in the Libyan Desert, 1929 and 1930. Geogr. J. 78, 13–39, 524–533.
2. Bagnold, R.A., 1941. The physics of blown sand and desert dunes, Chapman and Hall, London, 265 p.
3. Belly, P.Y., 1964. Sand movement by wind, with Addendum 2, by Abdel-Latif Kadib: U.S. Army Corps of Engineers, Coastal Eng. Research Center Tech. Memo, 1-85p.
4. Besler, H., 2002. The Great Sand Sea (Egypt) during the late Pleistocene and the Holocene, Zeitschrift für Geomorphologie. N. E., Suppl.-Bd. Vol.127:1-19.
5. Besler, H., 2008. The Great Sand Sea in Egypt: formation, dynamics and environmental change: a sediment-analytical approach. Elsevier, Amsterdam, 250 p.
6. Brooks, I.A., 2003. Geomorphic indicators of Holocene winds in Egypt's Western Desert. Geomorphology, 56: 155–166.
7. Bubenzer, O., Besler, H., 2005. Human occupation of sand seas during the early and mid-Holocene – examples from Egypt. Zeitschrift für Geomorphologie, Suppl. -Bd., N.F. 138: 153-165.
8. Cooke, R.U., Warren, A., 1973. Geomorphology in deserts. Batsford London, 374p.

9. Donner, J.J., Ashour, M.M., Embabi, N.S., Siirianainen, A., 1999. The Quaternary geology of a playa in Farafra, Western Desert of Egypt. Ann. Acad. Sci. Fenn., Geol.–Geogr. 160, 49–112.
10. Embabi, N.S., 1982. Barchans of the Kharga Depression. In: F.El-Baz and T.A. Maxwell (Eds.): desert landforms of Egypt: a basis for comparison with Mars. NASA, Washington D.C., pp. 141–156.
11. Embabi, N. S., 1998, Sand seas of the Western Desert of Egypt. In: Al-Sharhan A. S., Glennis, K. W., Whittle, G. L. and Kendall, C. G. STC. (Eds.): Quaternary Deserts and Climatic Change, Proc. Inter. Conference on Quaternary Deserts and Climatic Change, Al-Ain, United Arab Emirates, 9-11 Dec. 1995, Balkema, Rotterdam, 495-509.
12. Embabi, N.S., 2000. Sand dunes in Egypt. In Soliman M. Soliman (Ed.) Sedimentary Geology of Egypt, the Sedimentological Society of Egypt, - Cairo, Part 1: 45-87.
13. Embabi, N. S., 2004. The geomorphology of Egypt: landforms and evolution. vol. 1, The Nile Valley and the Western Desert. The Egyptian Geographical Society, Cairo, 447 p.
14. Embabi, N. S., Mostafa, A.A., Mahmoud, M.A., Azab, M.A., 2012. Geomorphology of Ghad Abu Moharik Sand Sea in Egypt. Bulletin de la Société De Géographie d'Égypte. 85: 4-28.
15. ESA, 2007. ASAR product handbook. Available at: [https://earth.esa.int/pub/ESA\\_DOC/ENVISAT/ASAR/asar-ProductHandbook.2\\_2.pdf](https://earth.esa.int/pub/ESA_DOC/ENVISAT/ASAR/asar-ProductHandbook.2_2.pdf), 564p. (Accessed: 20 October 2016).
16. Finkel, H. J., 1957. The barchans of southern Peru. Journal of Geology, 67: 614-647.
17. Fryberger, S.G., Ahlbrandt, T.S., 1979. Mechanisms for the formation of eolian sand seas. Zeitschrift fur Geomorphologie, vol. 23, No. 4, pp. 440-460.
18. Fryberger, S.G., 1979. Dune forms and wind regimes. In: E.D. McKee (Ed.): A study of global sand seas: United States Geological Survey, Professional Paper. U.S.G.S. Professional Paper, pp. 137–140.
19. Fryberger, S.G., Goudie, A.S., 1981. Arid geomorphology. Progress in Physical Geography, 5: 420–428.
20. Goudie, A., 2013. Arid and semi-arid geomorphology. Cambridge University Press, Cambridge, 454 p.
21. Hersen, P., Anderson, K.H., Elbelrhiti, B., Andreotti, B., Claudin, P. and Douady, S., 2004. Corridors of barchans dunes: stability and size selection. Physics Review, E, 69: 011304.
22. Holm, D. A., 1961. Desert geomorphology in the Arabian Peninsula. Science 132: 1369–1379.
23. Kuper, R., Kröpelin, S., 2006. Climate-controlled Holocene occupation in the Sahara: Motor of Africa's Evolution. Science, vol. 313: 803-807.
24. Lancaster, N., 1995. Geomorphology of desert dunes. Routledge, London, 244 p.

25. McKee, E. D., 1979. A study of global sand seas. Geological Survey Professional Paper 1052. U.S. Government Printing, Washington, 448 p.
26. Parteli, E. J.R., Durán, O., Tsoar, H., Schwämmle, V., Herrmann, H.J., 2009. Dune formation under bimodal winds, PNAS, vol. 106 -52: 22085–22089.
27. Pye, K., Tsoar, H., 2009. Aeolian sand and sand dunes. Springer Berlin Heidelberg, 458 p.
28. Riemer, H., 2009. Risks and resources in an arid landscape: an archaeological case study from the Great Sand Sea, Egypt. In: M. Bollig, O. Bubenzer (eds.), African Landscapes, Springer Science + Business Media, LLC, pp. 119-157.
29. Tsoar, H., Rasmussen, K.R., Sørensen, M., Willetts, B.B., 1985. Laboratory studies of flow over dunes, in Proceedings of the International Workshop on the Physics of Blown Sand (eds. O.E. Barndorff, J.T. Møller, K.R. Rasmussen and B.B. Willetts), University of Aarhus, Aarhus, Denmark, pp.327–350.
30. Wilson, I.G., 1971. Desert sand flow basins and a model for the development of ergs'. Geographical Journal, 137: 180–199.

## Geomorphology of The Farafra Sand Sea

### ABSTRACT

The main objective of this paper is to study the major sand forms in the Farafra Sand Sea. The study revealed the main geomorphological settings of the sand forms in the Farafra Sand Sea and sheded light on the factors of dune genesis. In this study, dunes were classified in the study area according to the dominant environmental characteristics into active and lithified sand dunes. However, the morpho-geographical distribution revealed a hierarchical pattern where barchan dunes occupy the margins of the Farafra Sand Sea and the main body of the sand sea is dominated by compound and complex dunes. These compound and complex dunes are organized and reflect a specific spatial pattern of longitudinal zones or draa. It has been deduced that lithified or Pleistocene draa were formed by strong wind during the glacial stage between 35-28 ka and then it is subjected to wet and dry cycles since late Pleistocene and mid Holocene. Finally, the study deduced that the major source of sands is the local old alluvial wadi deposits, which debouch into the Farafra Depression as stated from the satellite images and field studies. Another secondary source is that sand blowing from the outside of the Farafra Depression especially from the north and north-east direction.

**Key Words:** Farafra Depression, Western Desert of Egypt, Farafra Sand Sea, Pleistocene Draa.